

Polymerization
Quarterly, 2015
Volume 5, Number 2
Pages 85-106
ISSN: 2252-0449

Preparation and Functionalization of Carbon Nanotubes and the Properties of Its Nanocomposites

Fahimeh Askari*, Salva Farhangzadeh, and Hajar Jamshidi

Iran Polymer and Petrochemical Institute, P.O. Box:14975-112, Tehran, Iran

Received: 17 September 2014, Accepted: 19 November 2014

Abstract

The nanofiller reinforced polymer matrices are a class of composite materials, which have received significant attention both in academia and industry due to their high mechanical, physical and thermal properties. The carbon nanotubes (CNTs) are the most important nanofillers which can be used as ideal reinforcing agents for high performance polymer matrixes because of their excellent mechanical, thermal and electrical properties and multi-functionality. CNTs are rolled-up graphene sheets formed into long coaxial cylinders. Properties of carbon nanotubes depend on atomic arrangement, diameters and length of the tubes and their morphology of nanostructures. Due to their natural agglomeration caused by Van de Waals interactions, they are extremely difficult to disperse and align in a polymer matrix. The critical challenge is the development of methods to improve the dispersion of CNTs in polymer matrices so to improve the mechanical, electrical and optical properties of the composites as the end products. The functionalization of CNT is an effective way to prevent nanotube aggregation which can maximize interfacial adhesion between CNTs and the polymer matrix. CNTs can be prepared using various methods. In this review, the methods for the dispersion of nanotubes in the polymer matrix, functionalization and their corresponding effects on properties of composites are described.

Keywords

carbon nanotubes,
nanocomposite,
functionalization,
dispersion,
properties

(*) To whom correspondence should be addressed.
E-mail: f.askari@ippi.ac.ir

تهیه و عامل دار کردن نانولوله های کربن و خواص نانو کامپوزیت های آن

فهیمه عسکری*

تهران، پژوهشگاه پلیمر و پتروشیمی ایران، صندوق پستی ۱۴۹۷۵-۱۱۲

دریافت: ۱۳۹۳/۶/۲۶، پذیرش: ۱۳۹۳/۸/۲۸

بسپارش
فصلنامه علمی- ترویجی
سال پنجم، شماره ۲
صفحه ۱۰۶-۱۳۹۴
ISSN: 2252-0449

چکیده



فهیمه عسکری



سلوی فرهنگزاده



هاجر جمشیدی

وازگان کلیدی

نانولوله های کربن،
نانو کامپوزیت،
عامل دار کردن،
پراکنش،
خواص

در نیمه‌های سال ۱۹۸۰، Smalley و همکاران [۱] در دانشگاه رایس، شیمی فولرن‌ها را توسعه دادند. فولرن‌ها ساختارهای هندسی قفس مانندی از اتم‌های کربن هستند که رویه‌های پنج و شش وجهی دارند. اولین ساختار بسته تشکیل شده مولکول C₆₀ با توجه به عماری گنبدی‌شکل دارای سطوح هندسی (geodesic domes) را Buckminster Fuller انجام داد. فولرن قفس فشرده‌ای از ۶۰ اتم کربن است که در هر جانب آن یک پنج وجهی در مجاورت یک شش وجهی مانند توب فوتیال قرار گرفته است. گاهی به این مولکول، توب باکی هم گفته می‌شود. چند سال بعد، این اکتشاف به سنتز نانولوله‌های کربن منجر شد.

برای نخستین بار در سال ۱۹۸۹، Endo به عنوان بخشی از کار رساله دکتری خود در دانشگاه اورلئان فرانسه نانولوله‌های کربن را کشف کرد. اما تا گزارش Iijima در سال ۱۹۹۱، به طور جدی بدان توجه نشد. از آن هنگام، این نانولوله‌ها به دلیل کاربردهای متعدد بالقوه بسیار مورد توجه قرار گرفته‌اند. اولین گزارش درباره خواص جالب مکانیکی و الکترونیکی آنها در سال ۱۹۹۶ منتشر شد. نانولوله‌های کربن با توجه به خواص ویژه آنها، در وسایل نانوکترونیکی و فوتوللتایی، ابررسانها، محرك‌های الکترومکانیکی، ساخت پوشش‌های رسانا برای کاربردهای الکتروگرمایی [۲]، سلول‌های خورشیدی آلی [۳]، خازن‌های الکتروشیمیایی نانوسیم‌ها، به عنوان هیدروژل‌های هیبریدی در سامانه‌های رهایش کنترل شده دارو [۴] و الیاف نانوکامپوزیتی [۵] کاربردهای مختلفی یافته‌اند. خواص بسیار خوب CNTs این ترکیبات را به عامل تقویت‌کننده ایده‌آلی برای کامپوزیت‌های پلیمری کارآمد با خواص مکانیکی عالی تبدیل کرده است [۶,۷].

ایده استفاده از نانولوله‌های کربن برای ساخت مواد کامپوزیتی جدید به اوایل سال ۲۰۰۰ بازمی‌گردد. طی این سال‌ها مقایلات مختلف درباره استفاده از CNTs در ماتریس‌های پلیمری مختلف به منظور هم‌افزایی خواص مواد منتشر شده است. Ajayan و همکاران در سال ۱۹۹۴، ساخت اولین نانوکامپوزیت‌های پلیمری را با به کارگیری CNTs به عنوان پرکننده گزارش کرده‌اند. ماتریس‌های پلیمری مختلفی برای ساخت کامپوزیت‌های پلیمری به کار رفته‌اند، از جمله رزین‌های گرمانترم و گرماسخت، پلیمرهای بلورمایع، پلیمرهای انحلال‌پذیر در آب، پلیمرهای مزدوج و سایر پلیمرها که طی پژوهش‌های انجام شده استفاده شده‌اند.

ابعاد نانوپرکننده‌های به کار رفته در نانوکامپوزیت‌ها در حد چند نانومتر (تقریباً ۱۰ هزار بار نازک‌تر از موی سر انسان) است. این

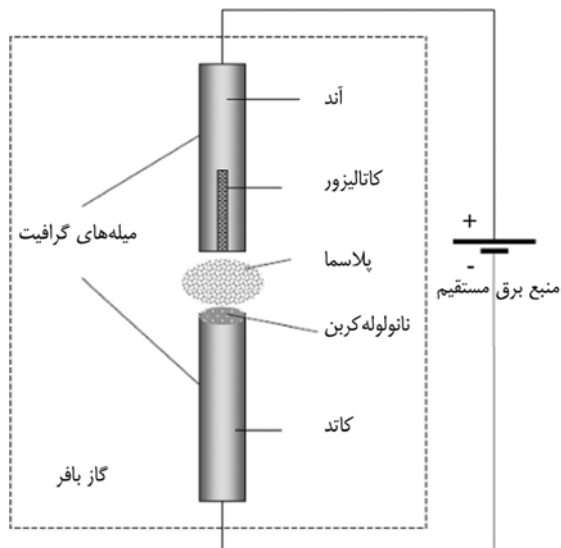
پرکننده‌ها مساحت بین‌سطحی ابرگستردهای را در واحد حجم میان ماتریس پلیمری و جزء نانو فراهم می‌آورند. درنتیجه، کامپوزیت‌های تقویت شده با نانوپرکننده‌ها چقرومگی افزایش یافته‌ای بدون تضعیف سفتی یا کاهش شفافیت نوری دارند. همچنین، این کامپوزیت‌ها از پایداری گرمایی و اکسایشی بیشتر، نفوذناپذیری و خواص مکانیکی بهتر و نیز خواص منحصر به فرد برخوردارند [۲,۶,۷].

به تازگی برخی پژوهشگران از نانولوله‌های کربنی عامل‌دار شده (f-CNTs) برای اصلاح برهم‌کش‌های میان‌سطحی بین پرکننده‌های معدنی و ماتریس آلی استفاده کرده‌اند. به طور کلی، زمینه توسعه مواد هوشمند، قوی و رسانا برای CNTs آغاز شده و به عرصه‌ای برای پژوهش‌های مهم در مراکز تحقیق و توسعه تبدیل شده است [۷]. در کار حاضر، ضمن بررسی ساختار و خواص نانولوله‌های کربنی و عامل‌دار کردن آنها، خواص نانوکامپوزیت‌های برپایه نانولوله‌های کربنی عامل‌دار شده ارائه شده است.

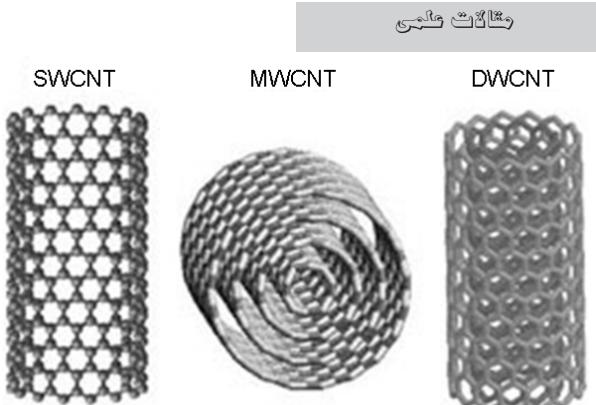
نانولوله‌های کربن

نانولوله‌های کربن یکی از دگر‌شکل‌های (allotrop) کربن مانند الماس، گرافیت، گرافن، فولرن و کربن‌های بی‌شکل هستند. این ترکیبات استوانه‌های بلندی از اتم‌های کربن پیوندیافته کووالانسی‌اند که برخلاف سایر مواد کربنی مانند گرافیت، الماس و فولرن‌ها، نسبت منظر بسیار زیاد در حد بیش از ۱۰۰۰ دارند. این مواد را می‌توان به شکل استوانه‌ای از صفحه‌های پیچیده شده گرافن با قطری در مقیاس نانومتر در نظر گرفت. نانولوله‌های استوانه‌ای معمولاً دارای حداقل یک سر بسته شده با ساختار فولرن نیم کره‌ای هستند. بسته به روش ساخت، می‌توان آنها را به نانولوله‌های کربنی تک‌دیواره (single-wall carbon nanotubes, SWCNTs) (double-wall carbon nanotubes, DWNTs) و نانولوله‌های کربنی چند‌دیواره (multi-wall carbon nanotubes, MWNTs) دسته‌بندی کرد [۸-۱۰].

SWCNTs دارای یک لایه گرافن پیچیده شده به دور یک استوانه هستند، در حالی که MWNTs شامل دو یا چند ورقه گرافن‌اند که لایه‌ها با نیروهای واندروالسی به شکل هم‌مرکز به دور یک هسته توخالی پیچیده شده‌اند. به طور کلی، پیوند شیمیایی کربن - کربن در نانولوله‌های کربن نوع sp² است. این ساختار قوی‌تر از پیوند sp³ در الماس است که باعث می‌شود تا نانولوله‌های کربن حداقل خواص مکانیکی را داشته باشند. به همین دلیل، خواص مکانیکی نانولوله‌های کربن از نانولوله‌های هر ماده دیگری بیشتر است [۱۱-۱۳]. نوع چند‌دیواره ساختار استوانه‌ای با استوانه‌های



شکل ۲- تجهیزات تخلیه قوس پلاسما [۱۴].



شکل ۱- نمایی از نانولوله های کربن تک دیواره (SWCNT)، دو دیواره (DWCNT) و چند دیواره (MWCNT) [۱۰].

CVD) اغلب این فرایندها در خلاً یا با استفاده از گازهای فرایند انجام می شود. CVD می تواند در خلاً یا فشار اتمسفری رخ دهد. به کمک این روش ها، می توان نانولوله های کربن را با کیفیت و در مقادیر زیاد تولید کرد [۲,۶]. در ادامه اساس هر یک از این روش ها به طور مختصراً توضیح داده می شود.

تخلیه قوس الکتریکی

روش تخلیه قوس الکتریکی ابتدا برای تهیه فولرن های C_{60} به کار رفت که رایج ترین روش موجود برای تولید CNTs است. اما، این فن ناخالصی های گرافیتی نظیر دوده، تولید می کند که دارای کربن بی شکل، آنیون ها و فولرن هاست. در این روش، یک گاز اتمسفری خشی در ظرف واکنش با عبور گاز با فشار کنترل شده به وجود می آید. بین دو میله گرافیتی که الکترودها را تشکیل

هم محور و نوع تک دیواره ساختار استوانه ای پایه دارند (شکل ۱) [۲,۶]. این ساختار استوانه ای دارای قطری در حد چند نانومتر است، اما طول آن می تواند به دهها میکرون هم برسد که در انتهای آن نیمه مولکول های فولرن تعییه شده اند.

CNTs با روش های مختلف سنتز می شوند که در ادامه توضیح داده می شوند. این ترکیبات دارای خواص مکانیکی، الکتریکی، گرمایی و مغناطیسی بسیار عالی هستند. مقدار کلی این خواص به قطر و کایرالیته نانولوله ها و نوع آنها از نظر تک دیواره یا چند دیواره بودن بستگی دارد. نمونه ای از این خواص در جدول ۱ آمده است [۲].

سنتز نانولوله های کربن

- نانولوله های کربن به چهار روش زیر تهیه می شوند:
- تخلیه قوس الکتریکی (arc discharge)،
- فداشوندگی با لیزر (laser ablation)،
- کربن مونواکسید پر فشار (high pressure carbon mono-oxide, HiPCO) و
- نشاندن شیمیابی در فاز بخار (chemical vapor deposition).

جدول ۱- نمونه ای از خواص CNTs [۲].

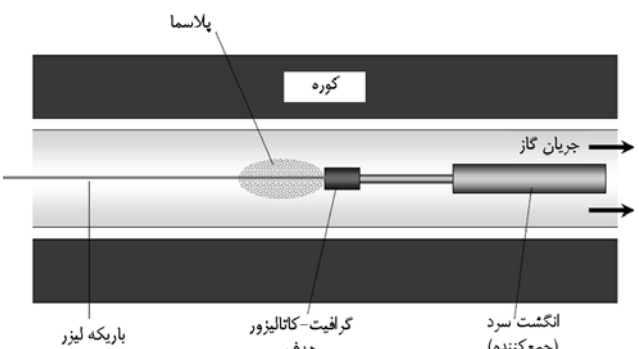
MWCNT	DWCNT	SWCNT	خاصیت
۱۰-۶۰	۲۳-۶۳	۵۰-۵۰۰	(GPa)
۰/۳-۱	-	~۱	(TPa)
-	۲۸	۵/۸	از دیاد طول تا پارگی (%)
۱/۸-۲	۱/۵	۱/۳-۱/۵	چگالی (g/cm^3)
$\sim 10^6$	$\sim 10^6$	$\sim 10^6$	رسانندگی الکتریکی (S/m)
> 700	> 700	> 700	پایداری گرمایی در هوا ($^{\circ}C$)
~ 20	~ 5	۱	قطر نمونه (nm)
۱۰-۲۰	۱۰-۲۰	۱۰-۲۰	مساحت سطح ویژه (m^2/g)

کربن مونو-اکسید پرفشار (HiPCO)

این روش برای تجزیه کاتالیزوری کربن مونو-اکسید در فشار زیاد است که برای تولید SWCNTs استفاده می‌شود. از کربن مونو-اکسید پرفشار به عنوان منبع کربن استفاده می‌شود. کاتالیزور به کار رفته در این فرایند از پیش‌ماده کاتالیزور آلی فلزی فرار در فاز گازی در راکتور تشکیل می‌شود. نمونه‌های آلی فلزی در دمای زیاد تجزیه شده و خوش‌های فلزی به وجود می‌آورند که SWCNTs را آنها هسته‌گذاری شده و رشد می‌کنند. فرایند HiPCO را Smalley و همکاران در دانشگاه رایس ابداع کردند. در این روش، کربن مونو-اکسید با فشار زیاد (100 atm) و دمای زیاد (100°C) به عنوان پیش‌ماده کاتالیزور، SWCNTs باکیفیت را با سرعت تقریبی 450 mg/h به وجود می‌آورد [۱۵]. در همین زمینه استفاده از گازهای خوراک و پیش‌ماده‌های کاتالیزور دیگری نیز گزارش شده است. برخی پژوهشگران از متالوسن‌های مخلوط با C_2H_2 و برخی دیگر از مخلوط کربن مونو-اکسید و هیدروژن برای تهیه SWCNTs استفاده کرده‌اند.

نشاندن شیمیایی در فاز بخار (CVD)

در این فرایند، مخلوطی از هیدروکربن و کاتالیزور فلزی با گاز خشی وارد محفظه واکنش می‌شود (شکل ۴). طی واکنش، با تجزیه هیدروکربن در دماهای $700\text{--}900^\circ\text{C}$ و فشار اتمسفری، نانولوله‌ها روی بستر (substrate) تشکیل می‌شوند. قطر نانولوله‌های رشدیافته به اندازه ذرات فلز بستگی دارد. سازوکار رشد CNT هنوز در دست مطالعه است. در شکل ۵، دو شیوه رشد نانولوله‌ها مشاهده می‌شود. شیوه اول، رشد در نوک است که در آن ذرات کاتالیزور طی فرایند رشد می‌توانند روی نوک نانولوله رشد یابنده قرار گیرند. دیگری شیوه رشد در پایه است که ذرات کاتالیزور روی پایه نانولوله باقی



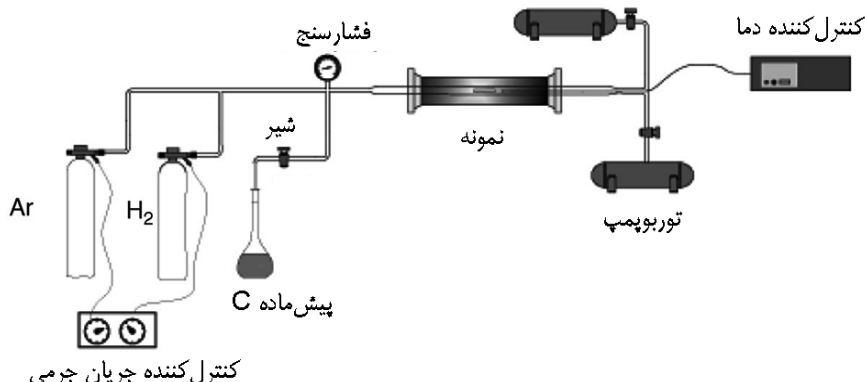
شکل ۳- تجهیزات فداشوندگی با لیزر [۱۴].

می‌دهند، اختلاف پتانسیل اعمال می‌شود. با نزدیک کردن میله‌ها به یکدیگر تخلیه الکتریکی انجام شده درنتیجه پلاسمـا ایجاد می‌شود (شکل ۲).

رسوب که دارای CNTs است، روی کاتد (الکترود منفی) تشکیل می‌شود، در حالی که آند (الکترود مثبت) مصرف می‌شود. هنگامی که کاتالیزور فلزی با گرافیت استفاده می‌شود، یک سوراخ در آند کربنی ایجاد شده که با مخلوطی از پودر گرافیت و فلز پر می‌شود. در این حالت اغلب نانولوله‌ها در دوده نشسته بر دیواره محفظه قوس یافت می‌شوند [۱۶، ۱۴].

فداشوندگی با لیزر

در روش فداشوندگی با لیزر از ضربان‌های لیزری قوی برای تبخیر کربن هدف حاوی مقادیر کمی از فلزات نظیر نیکل و کبالت استفاده می‌شود که درون کوره لوله‌ای شکل با دمای 1200°C قرار می‌گیرد. کربن فداشده با یک گاز خشی، مانند هلیم، از محفظه عبور داده می‌شود تا نانولوله‌های رشد یافته روی انگشت سرد (cold finger) جمع‌آوری شوند (شکل ۳). با این روش، به طور عمده نانولوله‌های کربن تک‌دیواره تولید می‌شود.



شکل ۴- روش نشاندن شیمیایی در فاز بخار [۱۴].

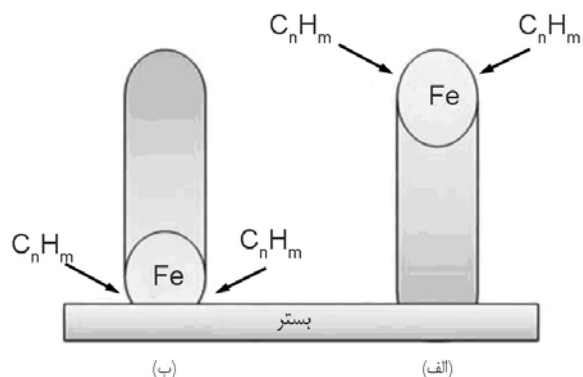
آب و هوا و مانند آنها فراهم می‌کند [۱۶]. خواص نانولوله‌های کربن تحت تأثیر ساختار آنها با کایرالیته‌های متفاوت است که در اثر پیچش صفحه گرافیتی به وجود آمده‌اند (شکل ۶). دستیابی به خواص عالی و تهیی کامپوزیتی کارآمد، مشروط به پراکنش خوب ذرات نانولوله کربن در ماتریس پلیمری است. از طرفی پراکنش آنها در پلیمر به دلیل ناسازگاری شیمیابی دو فاز و برهمکنش ضعیف بین نانولوله کربن و پلیمر به سختی امکان‌پذیر است. بنابراین، اصلاح نانولوله و بهبود پراکنش آن، از جمله مواردی است که باید مورد توجه قرار گیرد.

نانوکامپوزیت‌های برپایه نانولوله‌های کربن

پژوهش‌های بسیاری برای تهیی کامپوزیت‌های نانولوله کربن - پلیمر انجام شده است. به طور کلی، دو روش برای تهیی کامپوزیت‌های پلیمر - نانولوله کربن وجود دارد:

- شرکت مستقیم نانولوله کربن در ماتریس پلیمری (اتصال بدون پیوند کووالانسی) و
- پلیمرشدن در رجا در سطح (اتصال با پیوند کووالانسی) [۱۷، ۱۸].

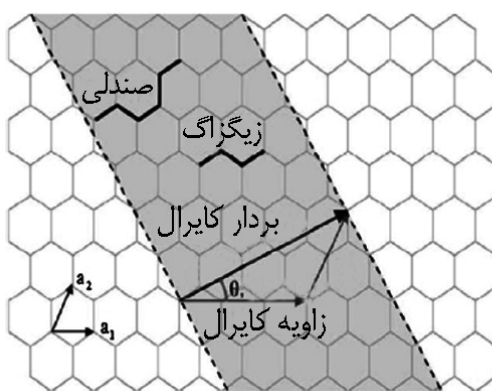
کاربرد نانولوله‌های کربن در کامپوزیت به دلیل مشکلات پراکنش نانولوله‌های به هم گره‌خورده و برهمکنش ضعیف بین آنها و پلیمر با محدودیت‌های زیادی مواجه است [۱، ۱۹]. این مشکلات به مراتب بیشتر از پراکنش سایر پرکننده‌های معمولی مانند ذرات کروی و الیاف کربن است. زیرا، نانولوله‌های کربن با طول بلند و قطر کوچک در مقیاس نانو مساحت سطح بسیار زیادی دارند. افزون بر این، انواع تجاری آنها به شکل دسته‌های به هم گره‌خورده تهیی شده و



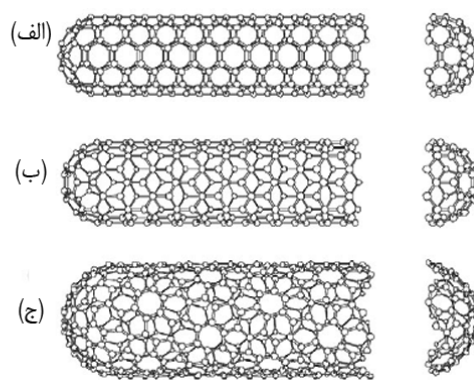
شکل ۵- شیوه‌های رشد نانولوله‌های کربن در روش CVD: (الف) رشد در نوک و (ب) رشد در پایه [۶].

می‌مانند و به چسبندگی میان این ذرات و بستر بستگی دارد. در این فن، طول و ساختار نانولوله‌های ایجاد شده در مقایسه با دو روش قوس و لیزر بیشتر قابل کنترل است. برای تولید CNTs در مقدار صنعتی می‌توان این فرایند را به مقیاس درآورد. تعدادی مقاله مروری (Awashi 2005 و Thostenson 2001، 2002 Monthioux 2005) در این زمینه به چاپ رسیده‌اند که در آنها این روش به طور واضح شرح داده شده است [۶، ۱۴].

نتایج نظری و تجربی نشان می‌دهد، مدول یانگ نانولوله کربن حدود $1/2 \text{TPa}$ ، استحکام کششی آن $50-200 \text{ GPa}$ و سفتی خمشی برای تکلوله $1-5 \text{ TPa}$ است [۱۲]. بنابراین، نانولوله‌های کربن از قوی‌ترین و سفت‌ترین مواد هستند. خواص الکتریکی و گرمایی نانولوله‌های کربن در مقایسه با سایر مواد کربنی، امکان استفاده از آنها را در نشر میدانی (field emission) و پلاستیک‌های رسانا و رساناهای گرمایی، ذخیره انرژی، چسب‌های رسانا، مواد ساختاری، الیاف، سرامیک‌ها، پایه کاتالیزورها، کاربردهای زیستی، صافی‌های



شکل ۶- طرح‌واره‌ای از پیچش ورقه گرافن شش‌وجهی و تشکیل ساختار نانولوله کربن با کایرالیته‌های متفاوت: (الف) صندلی، (ب) زیگزاگ و (ج) کایرال [۱].



جدول ۲- خواص فیزیکی انواع مواد کربنی [۱۶].

مواد کربنی					خواص
MWCNT	SWCNT	فولرن	الماس	گرافیت	
۱/۸	۰/۸	۱/۷	۳/۵	۲/۳-۱/۹	وزن مخصوص (g/cm ³)
۱۰ ^{-۳} -۱۰ ^۵	۱۰ ^{-۲} -۱۰ ^۶	۱۰ ^{-۵}	۱۰ ^{-۱۵} -۱۰ ^{-۲}	۳/۳ ^C و ۴۰۰ ^P	رسانایی الکتریکی (S/cm)
۱۰ ^{-۴} -۱۰ ^۵	~۱۰ ^۵	۰/۵-۶	۱۸۰۰	۲×۱۰ ^۴	تحرک الکترونی (cm ² /Vs)
۲۰۰۰	۶۰۰۰	۰/۴	۹۰۰-۲۴۲۰	۲/۲ ^C ، ۲۹۸ ^P	رسانایی گرمایی (W/mK)
قابل صرف نظر	قابل صرف نظر	۶۲×۱۰ ^{-۵}	(۱~۳)×۱۰ ^{-۶}	-۱×۱۰ ^{-۶} ^P ، -۱×۱۰ ^{-۵} ^C	ضریب انبساط گرمایی (K ^{-۱})
۶۰۰<	۶۰۰<	~۶۰۰	۶۰۰>	۴۵۰-۶۵۰	پایداری گرمایی در هوا (°C)
					.C داخل صفحه و C محور P

داده شده که فلوردارکردن نانولوله کربن تکدیواره خالص در دمای ۳۲۵°C فرایندی برگشت‌پذیر است که با استفاده از هیدرازین خشک، فلورور جدا می‌شود [۱۶]. در نانولوله کربن فلوردارکردن پیوند C-F ضعیفتر از آکلیل فلورورید است، بنابراین مراکزی برای جایگزینی اتم‌های فلورور و عامل‌دارکردن نانولوله کربن ایجاد می‌شود. جایگزینی اتم‌های فلورور با گروه‌های آمین، آکلیل و هیدروکسیل امکان‌پذیر است. به تازگی در کنار فلوردارکردن دیواره نانولوله کربن، از روش‌های دیگری مانند حلقه‌زایی (cycloaddition) از جمله واکنش دیلز‌آلدر (Diels-Alder) آفزایش کاربن و نیترن، کلردار، برمدار و هیدروژن‌دارکردن و آزومتین (azomethine ylides) نیز استفاده می‌شود.

روش دیگری که برای عامل‌دارکردن کووالانسی نانولوله کربن به کار می‌رود، ایجاد نقص است. این روش، مزیت انتقال شیمیایی مراکز نقص را در سطح نانولوله کربن فراهم می‌سازد (شکل ۷-ب). مراکز نقص می‌تواند انتهای باز یا حفره دیواره جانبی و بی‌نظمی پتاگون یا هپتاگون شبکه شش‌ضلعی گرافن‌ها باشد. مراکز اسید شده نیز نقص به شمار می‌آیند. با روش‌های اکسایشی، نانولوله‌های کربن از ذرات فلزات یا کربن بی‌شکل جدا و مواد خام خالص می‌شوند. این روش‌ها نواقصی را در انتهای باز نانولوله به وجود می‌آورند. نواقص دیواره جانبی و نیز انتهای باز نانولوله کربن با فرایند اکسایشی به وسیله اکسیدهای قوی مانند نیتریک اسید و سولفوریک اسید یا مخلوط آنها و نیز سایر اکسیدهای قوی مانند پتاسیم پرمنگات، ازن و پلاسما به وجود می‌آید. نواقص ایجاد شده با اکسایش نانولوله کربن و تشکیل پیوند کربوکسیلیک اسید (-COOH) یا گروه هیدروکسی (OH-) پایدار می‌شوند. این گروه‌های عاملی قابلیت انجام واکنش‌های شیمیایی مختلف مانند

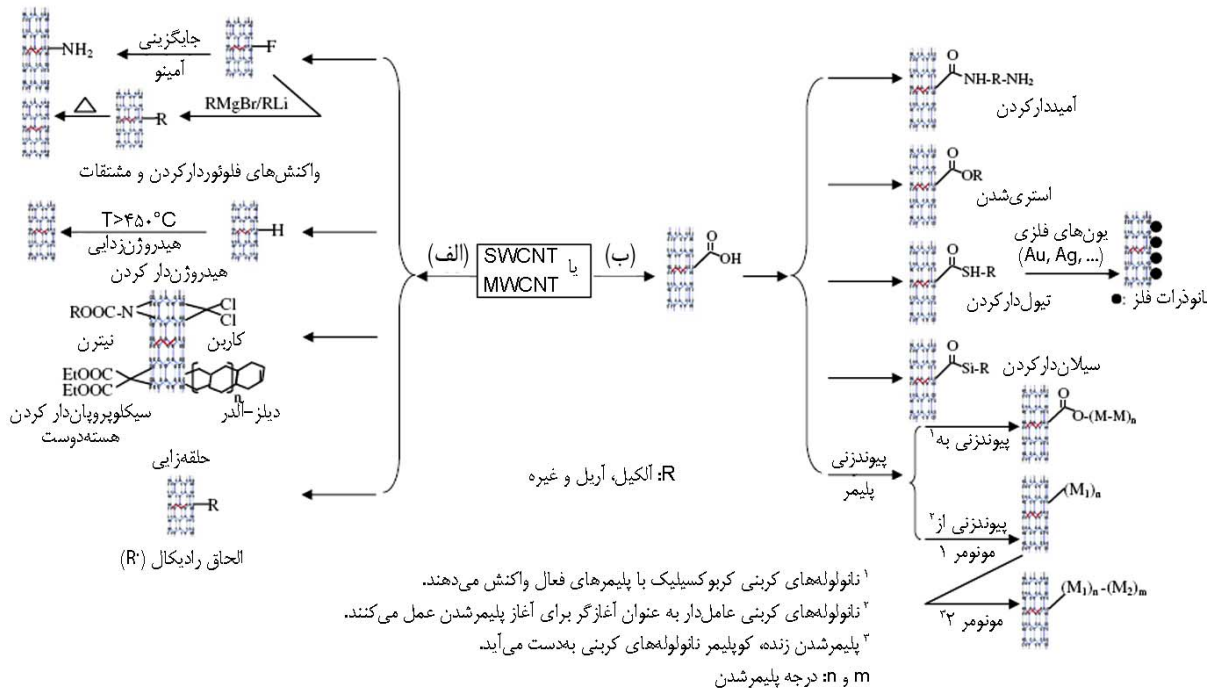
به سختی پراکنده می‌شوند. در جدول ۲ خواص فیزیکی انواع مواد کربنی آمده است. همان‌طورکه گفته شد، نانولوله‌های کربن به دلیل مساحت سطح بسیار زیاد به سختی در ماتریس پراکنده می‌شوند. روش‌های گوناگونی برای پراکنش نانولوله کربن وجود دارد که عبارت از روش فرacoصتی، روش ورقه‌سازی با غلتک، استفاده از آسیاب گلوله‌ای، روش اکستروژن و همزدن است. همچنین، به روش‌های پیشرفته‌ای مانند آسیاب گلوله‌ای و اکسترودر با فرacoصت ضربانی نیز اشاره شده است [۱۶].

عامل دارکردن نانولوله کربن

کارایی کامپوزیت نانولوله کربن-پلیمر به مقدار پراکنش نانولوله کربن در ماتریس و برهم‌کنش‌های بین سطحی بین نانولوله کربن و پلیمر بستگی دارد. اتم‌های موجود روی دیواره به دلیل ماهیت آروماتیک پیوندها، از لحاظ شیمیایی پایدارند. در این حالت، خاصیت تعویت‌کنندگی نانولوله کربن بی‌اثر بوده و برهم‌کنش‌ها از نوع واندروالسی است و انتقال بار اعمال شده در طول سطح مشترک نانولوله کربن و ماتریس امکان‌پذیر نیست. به طور کلی، دو روش شیمیایی و فیزیکی برای عامل‌دارکردن نانولوله کربن استفاده می‌شود.

عامل دارکردن به روش شیمیایی

عامل‌دارکردن شیمیایی به اتصالات کووالانسی روی بدنه نانولوله کربن بستگی دارد. عامل‌دارکردن مستقیم بدنه با تغییر هیبرید از sp³ به sp² و از بین رفتن سامانه اتصال p-Mزدوج روی لایه‌های گرافن انجام می‌شود. این فرایند با واکنش بعضی از مولکول‌های واکنش‌پذیر مانند فلورور انجام‌شدنی است (شکل ۷-الف). نشان



شکل ۷- روش‌های راهبردی برای عامل‌دار کردن نانولوله‌های کربن (CNTs): (الف) عامل‌دار کردن دیواره جانبی و (ب) عامل‌دار کردن با ایجاد نقص [۱۶].

مراکز فعال کم است. از طرف دیگر، ساختار گرافیتی خوب در دمای بیش از 600°C تا 700°C بسته به نوع نانولوله کربن اکسید می‌شود.

شکل ۸ دمانگاشت TGA نانولوله کربن اصلاح شده با کلریدریک اسید را در چند مرحله نشان می‌دهد. مرحله اول، کاهش وزن ۱٪ در دمای ۱۵۰°C مربوط به تبخیر آب جذب شده به وسیله نانولوله کربن اصلاح شده است. مرحله دوم از ۱۵۰°C تا ۳۵۰°C مربوط به دیکربوکسیل دارشدن گروههای کربوکسیل موجود در دیواره نانولوله کربن است. تخریب گرمایی ۳۵۰°C تا ۵۰۰°C به دلیل حذف عامل‌های هیدروکسیل متصل به نانولوله است. درنهایت، در دمای بیش از ۵۰۰°C تخریب گرمایشی باقی‌مانده نانولوله‌های نامنظم رخ می‌دهد. افزون بر این، بیشترین پایداری با فرایند اکسایش غیراسیدی ایجاد می‌شود که در این حالت تا دمای ۶۵۰°C یا بیشتر شبکه کاهش وزن افقی خواهد بود. عدم تخریب نانولوله اصلاح شده با مخلوط آمونیوم هیدروکسید و هیدروژن اکسید می‌تواند ناشی از نبود کربن نامنظم در نمونه باشد. توافق این یافته با نتایج طیف‌نورسنجی پرتو ایکس (X-ray photospectroscopy, XPS) و رامان نشان می‌دهد، این روش اصلاح کردن برای خالص‌سازی و اکسایش کم نمونه‌های نانولوله اولیه بسیار مؤثر است. باید تأکید کرد، درصد کل اکسیژن (۲/۶٪) در نانولوله اصلاح شده با مخلوط

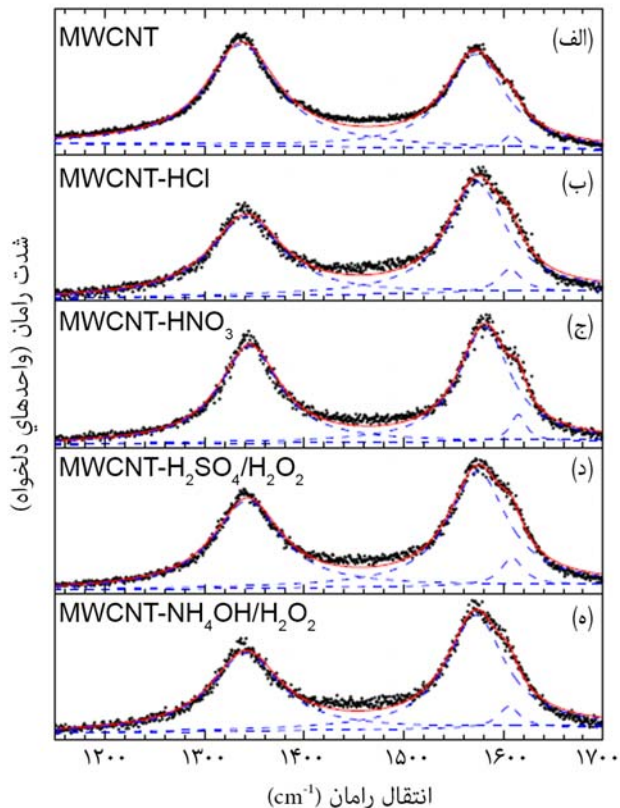
سیلان دارشدن، پیوندنزی با پلیمر، استری شدن، تیونیل دارشدن و آکلیل دار و آریل دارشدن و حتی واکنش‌های زیستی را دارند.^[۱۶] نانولوله کربن اصلاح شده در بسیاری از حلال‌های آلی محلول‌اند، زیرا ماهیت آبگریزی نانولوله کربن با اتصال این گروه‌های عاملی تغییر کرده و آبدوست می‌شوند. با عامل دارکردن نانولوله کربن با بسیاری از پلیمرها، پیوندهای شیمیایی قوی ایجاد شده و امکان فرایند نانوکامپوزیت‌هایی با خواص مکانیکی فراهم می‌شود. اکسنده‌های دیگری نیز برای اصلاح نانولوله کربن و حتی خالص‌سازی آنها استفاده می‌شوند که آثار مختلفی بر ساختار نانولوله کربن می‌گذارند و بر مقدار پراکنش و ایجاد پیوند کووالانسی با ماتریس پلیمری نیز مؤثرند.

اثر اکسایش بر ساختار MWCNT با استفاده از عوامل اکسیدنده مختلف از جمله کلربیدریک اسید، نیتریک اسید، مخلوط سولفوریک اسید و هیدروژن پراکسید (محلول پیرانها، Piranha) و مخلوط آمونیوم پراکسید (۲۵٪) و هیدروژن پراکسید (۳۰٪) به نسبت ۵۰:۵۰ برسی و مقدار کربوکسیل دارشدن با تیتر کردن اندازه گیری شد [۲۰]. طبق این پژوهش، مخلوط NH_4OH و H_2O_2 کربن نامنظم را به آسانی از MWCNT جدا می کند. این نتیجه با TGA نیز تأیید شد. همان طور که می دانید، کربن بی شکل در دمای 500°C اکسید می شود، زیرا انرژی فعال سازی آن به دلیل وجود تعداد زیاد

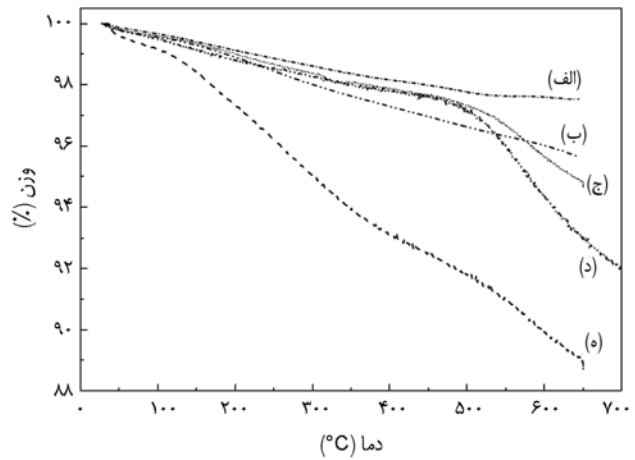
باعث نواقص اضافی در دیواره نانولوله نمی‌شود و روشی مناسب است. استفاده از محلول پیران‌ها نشان می‌دهد، در سطح گرافیت نواقص وجود ندارد و درصد اثر اکسایش با نیتریک اسید و مخلوط سولفوریک اسید: نیتریک اسید به نسبت ۱:۳ نیز مقایسه شد [۲۰]. مقدار کاهش وزن نانولوله کربن پس از ۳۰ min بازروانی با نیتریک اسید ۱۰٪ و در مخلوط سولفوریک اسید ۳۰٪ گزارش شد.

Wepasinck و همکاران [۲۱] اثر شش اکسیده شیمیایی از جمله KMnO_4 , $\text{H}_2\text{SO}_4/\text{HNO}_3$, $(\text{NH}_4)_2\text{S}_2\text{O}_8$, H_2O_2 , HNO_3 , $\text{H}_2\text{SO}_4/\text{HNO}_3$, KMnO_4 , H_2O_2 را برای اکسایش نانولوله کربن چنددیواره بررسی و مقایسه کردند. نانولوله کربن اصلاح شده با آمونیوم پرسولفات و هیدروژن پراکسید و ازن غلظت بیشتری از گروه‌های عاملی کربونیل و هیدروکسیل و اکسیدهای خورنده مانند نیتریک اسید و پتانسیم پرمنگات غلظت بیشتری از گروه کربوکسیل ایجاد می‌کنند.

معمولًاً مقدار کربوکسیل دارشدن با استفاده از اکسیدهای قوی نسبتاً کم است. Chen و همکاران روش دیگری را برای اکسایش نانولوله کربن و ایجاد گروه کربوکسیلیک پیشنهاد کردند [۲۲, ۲۳]. در این روش، سوکسینیک اسید پراکسید از واکنش پراکسیدی شدن



شکل ۹- طیف رامان نمونه‌های نانولوله کربن چنددیواره پس از اصلاح با عوامل مختلف [۲۰].



شکل ۸- دمانگاشت TGA نمونه‌های نانولوله کربن چنددیواره: (الف) $\text{MWCNT}-\text{H}_2\text{O}_2$, (ب) $\text{MWCNT}-\text{NH}_4\text{OH}/\text{H}_2\text{O}_2$, (ج) $\text{MWCNT}-\text{HCl}$ و (د) $\text{MWCNT}-\text{H}_2\text{O}_2$ [۲۰] و (ه) HNO_3 .

$\text{NH}_4\text{OH}/\text{H}_2\text{O}_2$ برای بعضی از کاربردها که به پیوندهای قوی بین سطحی و ترشوندگی ترمودینامیکی با تقویت‌کنندگی متوسط نیاز دارند، کم است.

طیف‌سنجی رامان، روش مؤثری برای بررسی ساختار نانولوله کربن است. طیف رامان نمونه اصلاح شده و اصلاح نشده با رامان نوع لیزر $514/5 \text{ nm}$ در شکل ۹ آمده است. هر یک از طیف‌ها دارای سه پیک مربوط به کربن بی‌شکل یا صفحه‌های نامنظم گرافیتی بوده و 1527 cm^{-1} مربوط به کشش تانزانی پیوند کربن-کربن در صفحه‌های گرافن است. D' پیک ضعیفتری از G -band در 1608 cm^{-1} در بسامدهای بیشتر است و از رزونانس القا شده از بین نظمی و نواقص ایجاد می‌شود. با اندازه‌گیری سطح زیر پیک‌های D و G ، نسبت IG/ID تخمین زده می‌شود. بنابراین می‌توان نتیجه گرفت، شستشو با هیدروکلریک اسید (کلریدریک اسید در آب) باعث حذف نانوذرات گرافیت می‌شود. نانولوله اصلاح شده با کلریدریک اسید می‌تواند مرجعی برای مطالعه رامان پس از اکسایش نانولوله باشد. در اصلاح با نیتریک اسید نسبت IG/ID به شدت کاهش می‌یابد. درصد کل اکسیژن نسبت به اکسایش با نیتریک اسید بسیار کمتر است. این نتیجه با XPS تأیید شد که با نتایج SEM نیز مطابقت دارد. افزون بر این، افزایش نواقص با XPS می‌تواند با یافته‌های رامان تأیید شود. D -band با توجه به حساسیت ایجاد مراکز نقص روی دیواره و نوک نانولوله بسته به شرایط نهایی اکسایش، محصولاتی با درصد اکسیژن بهینه بدست می‌آیند. در نانولوله اصلاح شده با مخلوط

کربن و تجمع آنها باشد. همچنین گروه‌های آمینی، در پراکنش نانولوله کربن در حلال‌های مختلف مؤثرند.

Yang و همکاران [۲۶] نانوکامپوزیتی از نانولوله چنددیواره پیوندزده شده با تتراتیلین تترآمین (TETA) و رزین اپوکسی تهیه کردند که باعث بهبود استحکام ضربه‌ای، استحکام خمشی و رسانایی الکتریکی کامپوزیت شد. آنها برای اصلاح و کربوکسیل دارکردن نانولوله کربن از سه روش اکسایش استفاده کردند. برای انتخاب بهترین روش، مقدار بلورینگی نانولوله پیش و پس از اصلاح با WAXD و آزمون رامان و بازده اصلاح شدن با XPS بررسی شد. طبق نتیجه‌گیری آنها اصلاح اولیه نانولوله کربن با مخلوط اسید و سپس آمین دارکردن آن خواص و بازده بهتری را نشان داد.

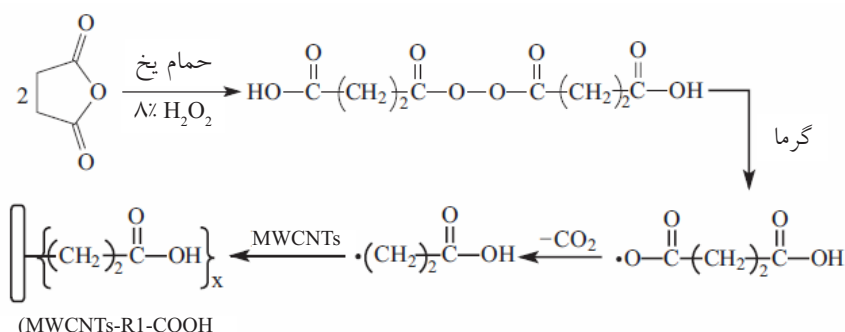
Kim و همکاران [۲۷] اثر زمان پراکنش و مقدار بهینه نانولوله کربن اصلاح شده را بر خاصیت رسانایی الکتریکی نانوکامپوزیت PU-MWCNT بسته به شرایط پراکنش بررسی کردند. در این مطالعه، نانوکامپوزیت‌هایی با پلی‌یورتان‌ها و درصدهای مختلفی از نانولوله کربن چنددیواره اصلاح شده با مخلوط ۱:۳ سولفوریک اسید و نیتریک اسید تهیه و خواص آنها مقایسه شد. پیش از اصلاح با اسید، کاتالیزورهای فلزی و ناخالصی‌ها با عملیات گرمایی در ۴۵۰°C جدا شدند. طبق نتیجه‌گیری آنها خواص الکتروستاتیک خوب (کمتر از $10^9 \Omega\text{cm}$) در زمان پراکنش بیش از ۲ h و مقدار نانولوله بیش از ۲% به دست می‌آید.

Wang و همکاران [۲۸] مقدار بهینه عامل دارکردن نانولوله کربن را با مدلی نظری معین کردند. عامل دارکردن کووالانسی بهویژه اکسایش باعث بهبود سطح نانولوله می‌شود. ولی ممکن است، نواقص غیرقابل انتظاری را در دیواره جانبی ایجاد کند. مقدار بهینه عامل دارکردن براساس نیازهای تجاری انتقال بار مطرح و نواقص القا شده بر دیواره جانبی نانولوله کربن و اثر منفی آن بر مدول کشسانی محاسبه می‌شود. نتایج محاسبه شده نشان

سوکسینیک ایندrid با هیدروژن پراکسید (۸٪) در مخلوط آب و یخ تهیه و با گرمادهی به رادیکال آزاد گروه‌های آکلیل با انتهای کربوکسیلیک اسید تبدیل شد (شکل ۱۰).

سپس از واکنش افزایشی رادیکال آزاد با نانولوله کربن، نانولوله کربن اصلاح شده با گروه عاملی کربوکسیلیک (CNT-COOH) ساخته شد. با این روش مقدار کربوکسیل دارشدن نانولوله کربن بازده بیشتری را نشان داد. گروه‌های کربوکسیلیک ضمن واکنش با تیونیل کلرید حدواتسط CNT-COCl تشکیل داده و پس از واکنش با گروه‌های آمینی به $\text{NH}_2-\text{R}_1-\text{NH}_2$ تبدیل شدند. در این مطالعه، آستانه زهش (percolation threshold) نانوکامپوزیت یورتان - نانولوله کربن با کامپوزیت دوده - پلی‌یورتان مقایسه شد. به دلیل برهمکنش بین نانولوله کربن با ماتریس پلیمری، آستانه زهش در مقایسه با دوده در مقادیر کمتری از نانولوله کربن اصلاح شده، مشاهده شد. روش مستقیم کربوکسیل دارکردن نانولوله کربن با پیوند کووالانسی به روش فریدل کرافت، نیز از روش‌های پیشنهادی Yang برای اصلاح نانولوله کربن بدون تخریب سطح آن است [۲۴]. طیف رaman تأییدی بر خلوص و اصلاح نانولوله کربن بدون تخریب ساختار آن است. با این روش، شبکه جریان گرمایی کامل بین نانولوله کربن چنددیواره پیوندزده شده با بنزن تری‌کربوکسیک اسید (BTC-MWCNTs) و ماتریس اپوکسی ایجاد شد و رسانایی گرمایی افزایش یافت.

نانولوله کربن چنددیواره طی چند مرحله کربوکسیل دارکردن، آسیل دارکردن و آمیدی شدن با چهار نوع دی‌آمین از جمله اتیلن دی‌آمین، ۱،۶-هگزامتیلن دی‌آمین، ۴،۴-دی‌آمینودی‌فنیل متان و ۴،۴-دی‌آمینودی‌سیکلوفگزیل متان، عامل دار شد [۲۵]. مقدار پراکنش با جذب UV و آزمون پایداری محلول بررسی و نتیجه گرفته شد، پراکنش نانولوله کربن اصلاح شده با آمین در اغلب حالات ایده‌آل نیست. شاید به دلیل انجام سایر واکنش‌های نانولوله



شکل ۱۰ - عامل دارکردن دیواره جانبی نانولوله کربن چنددیواره [۲۲].

پلیمر را به سطح نانولوله کرین به روش پلیمرشدن حلقه‌گشا و واکنش کلیک انجام دادند. در این روش، ابتدا نانولوله کرین چنددیواره به روش اصلاح اسیدی به MWCNT-COOH تبدیل شد. نانولوله کربوکسیل دار با تیونیل کلرید تبدیل به -MWCNT- COCl و پس از واکنش با اتیلن گلیکول به MWCNT-OH تبدیل شد. گروه هیدروکسیل متصل به نانولوله کرین به عنوان آغازگر کمکی در پلیمرشدن پلی‌کاپرولاکتون یا پلی‌کلروکاپرولاکتون به روش پلیمرشدن حلقه‌گشا در سطح نانولوله کرین شرکت کردند و پلیمر MWCNT-g-PCLs یا MWCNT-g-PaClCL تهیه شدند.

گروه کلراآویزان به نانولوله کرین در کلروکاپرولاکتون با سدیم آزید واکنش کرده و با کاتالیزور پایه مس طی واکنش کلیک MWCNT-g-(PaN₃CL-g-alkyne)s سنتز شد. اثر پیوندزنی کوپلیمر با انتهای آلکوکسی آمین به نانولوله کرین چنددیواره برسی شد. کوپلیمر با انتهای آلکوکسی آمین با مونومرهای استیرن و کاپرولاکتون به روش پلیمرشدن رادیکال آزاد با حدواتط نیتروکسید تهیه و در حال تولوئن به سطح نانولوله کرین پیوند زده شد [۳۵].

Yang و همکاران [۳۶] MWCNT را به روش افزایشی رادیکال آزاد با آغازگر آزوویس سیانوپتنتانول در حدواتط محلول آبی، سنتز و MWCNT-OH را اصلاح کردند. در مرحله بعد، کاپرولاکتون به روش حلقه‌گشا با آغاز سطحی در محلول یونی BF₄ (Bmim) در دیواره جانبی نانولوله کرین پلیمر و MWCNT-g-PCL تهیه شد. این روش، فرایند شیمیابی سبز برای عامل‌دارکردن نانولوله کرین است. مجموعه نانولوله کرین با فلز یا بستر نیمه‌رسانا با توجه به خواص الکتریکی، مکانیکی و گرمایی منحصر به فرد، امکان ساخت وسایل و ابزارهایی در مقیاس نانو را برای کاربردهای الکترونیکی، الکترونیکی نوری و آشکارسازهای شیمیابی و زیستی فراهم می‌سازد.

Hauquier و همکاران [۳۷] دیواره جانبی نانولوله کرین چنددیواره را با حدواتط اکسایش-کاهش با استفاده از تکلایه با انتهای اسید، با پیوند کووالانتی خودگردنهای (self-assembled) و به طور موازی به سطح سیلیکون به عنوان چسب مولکولی متصل کردند. این روش، براساس واکنش آمیدی‌شدن بین آمین‌های محلول دیواره نانولوله چنددیواره عامل‌دار و سر گروههای N-هیدروکسی سوکسینیمید (تکلایه آلکیل که به روش کووالانتی به سیلیکون p-type Si(111) متصل شده انجام شد. دلایل انتخاب این روش، اولاً ایجاد فیلم مولکولی از واکنش سیلیکون با انتهای هیدروژن با ۱-آلکن جایگزین شده به شکل منظم و تشکیل تکلایه فشرده و

می‌دهد، حدود ۱۰٪ عامل‌دارکردن نانولوله اولیه بدون نقص به روش اکسایش برای انتقال مناسب بار بهینه است. اثر طول و قطر نانولوله و نیز غلظت نانولوله بر مقدار بهینه عامل‌دارکردن مؤثر است. عامل‌دارکردن اکسایشی نانولوله کرین سازگاری شیمیابی و انحلال‌پذیری آنها را بهبود می‌بخشد. اصلاح نانولوله کرین با پلیمر ممکن است، انحلال‌پذیری و پراکنش را بهتر نکند، ولی برهمکنش بین سطحی را در کامپوزیت بهبود دهد. روش اصلی اصلاح نانولوله کرین با پلیمر به وسیله پیوندهای غیرکووالانتی (لفاف‌پیچی با پلیمر یا جذب) یا کووالانتی است [۲۹].

با اصلاح نانولوله کرین به روش پیوند شیمیابی کووالانتی (پیوندزنی)، پیوند شیمیابی بسیار قویی بین نانولوله کرین و زنجیر پلیمر ایجاد می‌شود. بسته به ساختار زنجیر پلیمر دو روش اصلی برای پیوندزنی وجود دارد. پیوند به (grafted to) روشی است که در آن پلیمر با وزن مولکولی مشخص با انتهای واکنش‌پذیر یا به روش رادیکالی سنتز شده و در واکنش‌های بعدی زنجیر پلیمر با واکنش افزایشی به سطح نانولوله کرین متصل می‌شود. از معایب این روش، محدودبودن مقدار پلیمر پیوندزده شده به دلیل واکنش‌پذیری وجود دارد. پیوند به (grafted from) روشی است که رشد پلیمر از سطح نانولوله به روش پلیمرشدن در رجای مونومرهای جا داده شده در دیواره جانبی نانولوله کرین یا انتهای آغاز می‌شود. مزیت این روش، امکان پیوندزنی مناسب، قابل کنترل و قابل طراحی به دلیل فعالیت زیاد مونومرهاست [۳۰].

Xia و Song [۳۱] نانوکامپوزیت پلی‌یورتان-پلی‌پروپیلن گلیکول)-MWCNT-MWCNTs را از با عامل هیدروکسیل در دو مرحله تهیه کردند. طبق گزارش آنها، زمانی که از نانولوله کرین اصلاح شده PP-g-MWCNT استفاده شد، خواص رئولوژیکی و پراکنش نانولوله در پلی‌ال بهبود یافت و در مقایسه با نانولوله اصلاح نشده، خواص مکانیکی نیز تقویت شد و منحنی پسماند (hysteresis) کاهش یافت. در پژوهشی مقایسه‌ای نیز اتفاق انرژی کامپوزیت نانولوله کرین-پلی‌یورتان و ورقه‌ای شدن نانوکامپوزیت خاکرس الی اصلاح شده-پلی‌یورتان [۳۲] بررسی و مشخص شد، اتفاق انرژی در نانوکامپوزیت دارای نانولوله کرین پیوند یافته-پلی‌یورتان کمتر است. در این پژوهش با پیوندزنی پلی‌کاپرولاکتون بر نانولوله تکدیواره، نانوکامپوزیت SWNT-g-PU تهیه شد.

پژوهش‌های زیادی به روش اصلاح با ایجاد نقص، عامل‌دارکردن غیرکووالانتی، عامل‌دارکردن کووالانتی و عامل‌دارکردن با استفاده از شیمی کلیک انجام شد [۳۳]. Lee و همکاران [۳۴] پیوندزنی

نانولوله کربن چنددیواره استفاده می‌شود و پراکنش و چسبندگی بین سطحی نانولوله کربن و ماتریس را افزایش می‌دهد [۴۱].

عامل دارکردن به روش فیزیکی

عامل دارکردن به روش کووالانسی روش مفیدی برای عامل دارکردن سطح نانولوله‌هاست. ولی این روش، دو مشکل اصلی نیز دارد. عامل دارکردن حین واکنش بهویژه در طول فرایند فراصوتی، تعداد زیادی نقص روی دیواره نانولوله کربن ایجاد می‌کند و در بسیاری از موارد نانولوله کربن به اجزای کوچکتر تقسیم می‌شود. این آثار باعث تخریب خواص مکانیکی نانولوله‌های کربن و نیز گسیختگی سامانه الکترون π در آنها می‌شود. از طرفی، گسیختگی الکترون π برای انتقال خواص نانولوله زیان‌آور است. زیرا، مراکز نقص پراکنده کننده الکترون و فونون بوده که به ترتیب مسئول رسانایی الکتریکی و گرمایی نانولوله کربن است. از طرف دیگر، اسید غلیظ یا سایر اکسیدهای قوی که اغلب برای عامل دارکردن به کار می‌روند، از لحظه زیست‌محیطی نامناسب هستند، بنابراین سعی بر آن است تا از روش‌هایی استفاده شود که ضمن کم کردن هزینه، حداقل تخریب ساختار نانولوله را موجب شود.

عامل دارکردن غیرکووالانسی، روش دیگری برای سازگارکردن سطح مشترک نانولوله‌هاست. به عنوان مثال، تعلیق نانولوله کربن در مجاورت پلیمرهایی مانند پلی(فنیلن وینیلن) یا پلیاستیرن باعث ایجاد لفافی از پلیمر به دور نانولوله کربن شده و تشکیل کمپلکس‌های ابرمولکولی از نانولوله کربن می‌دهد (شکل ۱۱). فرایند لفاف‌پیچی از برهم کنش‌های واندروالسی و انباشتن (stacking) $\pi-\pi$ بین نانولوله و زنجیرهای پلیمری دارای حلقه‌های آروماتیک انجام می‌شود.

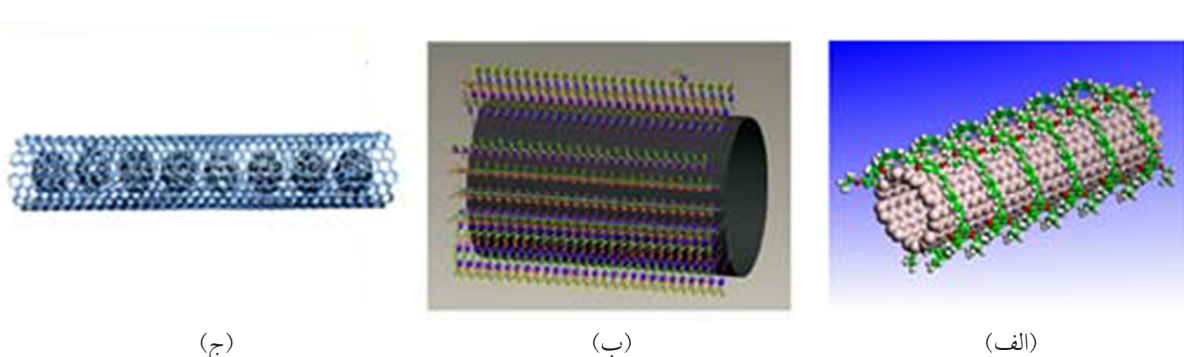
در کنار پلیمرها، مواد سطح فعال نیز برای عامل دارکردن به کار

ثانیاً بازده زیاد واکنش استرهای فعال شده با آمین در شرایط اختلاط

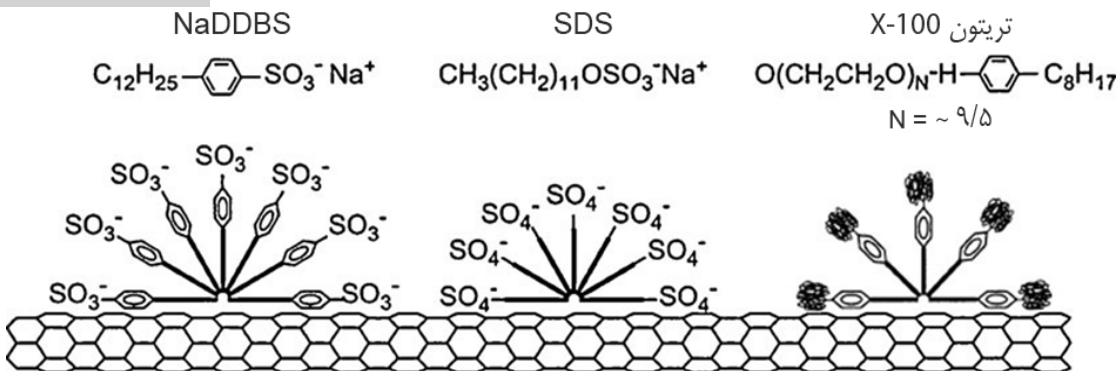
بود. نانولوله چنددیواره با ۷-اکتیل تریکلروسیلان و n -اکتیل تریکلروسیلان برای تهیه نانوکامپوزیت سیلیکون - نانولوله به روش پلیمرشدن درجا، اصلاح شد [۳۸]. با افزایش ۰٪ وزنی نانولوله اصلاح شده مدول یانگ حدود ۵۰٪ افزایش یافت. این نتیجه از یک طرف به دلیل سازگاری خوب ماتریس سیلیکونی با نانولوله کربن پوشش یافته با شبکه سیلوکسانی و از طرف دیگر اتصالات کووالانسی ایجاد شده بین وینیل انتهایی و ماتریس به دست آمد.

Schopf و همکاران [۳۹] روش ساده‌ای را برای اتصال مستقیم نانولوله کربن بر سطح سیلیکون استفاده کردند. ابتدا پایرن (payrene) عامل دارشده با پلی‌ایتلن گلیکول آکریلات (RAFT) را به روش پلیمرشدن انتقال زنجیر افزایشی برگشت‌پذیر (RAFT) تهیه کردند. سپس، این پلیمر با لیتوگرافی پرتو الکترونی بر سطح ویفر سیلیکونی پوشانده شده و نانولوله کربن به طور انتخابی روی این سطح متصل شد. این روش قابلیت کنترل محل اتصال نانولوله کربن بر ماتریس را در مقیاس نانو فراهم می‌کند.

انواع پلاسمای برای اصلاح و پیوندزنی فعال، سطح نانولوله به کار گرفته می‌شود. این روش‌ها از محدوده پلاسمای کم فشار تا پلاسمای اتمسفر مانند تخلیه هاله (corona-discharge) و تخلیه سد دی‌الکتریک (dielectric barrier discharge) را در بر می‌گیرد. با پیوندزنی ۲-هیدروکسی متاکریلات بر سطح نانولوله کربن چنددیواره به روش تخلیه هاله و پلیمرشدن آن، کپسولی از پلی-۲-هیدروکسی متاکریلات به دور نانولوله کربن پوشانده شده که مقدار پیوندزنی به زمان کرونا بستگی دارد، نانولوله اصلاح شده، خواص مکانیکی و دینامیکی نانوکامپوزیت HEMA-g-CNTs/Epoxy را بهبود داد [۴۰]. به طور کلی، پلاسمای برای عمل آوری و اصلاح



شکل ۱۱- نانولوله کربن عامل دار شده به روش‌های غیرکووالانسی: (الف) لفاف پلیمری، (ب) جذب مواد سطح فعال و (ج) روش درون‌وجهی [۱۶].



شکل ۱۲- چگونگی جذب مواد سطح فعال به سطح نانولوله کربن [۳۳].

قابلیت انحلال رزین پلیمری را نیز داشته باشد. سپس، نانولوله کربن پراکنده شده در حلول با محلول ماتریس پلیمری در دمای محیط یا دماهای بیشتر مخلوط می‌شود. در انتها نانوکامپوزیت، با رسوب دادن یا ریخته‌گری مخلوط حاصل می‌شود. این روش اغلب برای تهیه فیلم‌های کامپوزیتی به کار می‌رود.

مخلوط مذاب

روش مذاب نیز از روش‌های رایج برای تهیه نانوکامپوزیت از پلیمرهای گرمانرم مانند پلی‌پروپیلن، پلی‌استیرن، پلی‌اتیلن، ۶-۲-۶-۴ PVC، نایلون و پلی‌اکسی متیلن با نانولوله کربن است [۱۶]. مزیت اصلی این روش عدم استفاده از حلول برای پراکنش نانولوله کربن است. در روش مذاب، دما و نیروی برشی زیادی برای پراکنش نانولوله کربن در ماتریس پلیمری اعمال می‌شود که اغلب با اهداف صنعتی سازگار است. تجهیزات خاصی مانند ماشین اکسترودر و تزریق، قابلیت عملکرد در دما و نیروی برشی زیاد را برای پراکنش فراهم می‌سازد. در مقایسه با روش محلولی این روش کارایی کمتری در پراکنش نانولوله کربن دارد و کاربرد آن به استفاده از مقادیر کم نانولوله در پلیمرهای گرمانرم محدود می‌شود [۴۵].

فناوری شیرابه

فناوری شیرابه (latex) روشی نسبتاً جدید است. شیرابه، پراکنش کلوئیدی از ذرات پلیمر در حدواسط آبی است. با استفاده از این فناوری پراکنش نانولوله کربن تکدیواره و چنددیواره در اغلب پلیمرها به روش پلیمرشدن امولسیونی امکان‌پذیر است. بر عکس پلیمرشدن درجا، افزایش نانولوله پس از سنتز پلیمر انجام می‌شود. مرحله اول شامل ورقه‌ای شدن (برای نانولوله تکدیواره) یا پراکنش پایدار (برای نانولوله چنددیواره) در حدواسط حاوی مواد سطح فعال است. در این روش نانولوله اصلاح شده با مواد سطح فعال

می‌رونند. مطالعات زیادی در باره اثر مواد سطح فعال بر پراکنش و سایر خواص نانولوله‌ها انجام شده است [۱۶]. انواع مواد سطح فعال غیریونی، آنیونی و کاتیونی قابل استفاده هستند. از آنجا که جذب فیزیکی مواد سطح فعال روی سطح نانولوله کربن کمتر از کشش سطحی آنهاست، از تشکیل تجمع نانولوله‌ها ممانعت می‌شود. بنابراین، نانولوله اصلاح شده با عامل سطح فعال بر نیروی دافعه برهم‌کنش‌های واندروالسی الکتروستاتیک-ممانعت فضایی غلبه می‌کند. بازده این روش به خواص مواد سطح فعال، شیمی حدواسط و ماتریس پلیمری بستگی دارد [۴۲-۴۴]. شکل ۱۲ نحوه جذب مواد سطح فعال را به سطح نانولوله کربن نشان می‌دهد. درون‌وجهی (endohedral) روش غیرکوالانتسی دیگری برای عامل‌دار کردن نانولوله کربن است (شکل ۱۱-ج). در این روش اتم‌ها یا مولکول‌های مهمان با استفاده از اثر مویینگی در حفره داخلی نانولوله کربن ذخیره می‌شوند. مواد الحقیقی در مراکز نقص موضعی در انتها یا دیواره نانولوله کربن قرار می‌گیرند. جاگیری یا الحقاق (insertion) نانوذرات معدنی در نانولوله کربن [۴۵] و مولکول‌های کوچک زیستی مانند پروتئین و DNA مثالی برای عامل‌دار کردن به روش درون‌وجهی به شمار می‌آید. مجموعه هیبرید دوچرخی (نانولوله کربن و مولکول مهمان) برای کاربردهای مانند کاتالیزورها، ذخیره انرژی، نانوفناوری و ابزار در مقیاس مولکولی مناسب است.

روش‌های ساخت نانوکامپوزیت نانولوله کربن-پلیمر اختلاط محلول

روش محلول، روش رایجی برای ساخت نانوکامپوزیت‌های است [۴۳، ۴۶]. معمولاً اختلاط به روش محلول سه مرحله دارد که شامل پراکنش نانولوله کربن در حلول مناسب با استفاده از همزن مکانیکی، همزن مغناطیسی یا فرا صوت دهی است. حلول باید

کامپوزیت پراکنده شده و تعداد اندکی خوش‌های مجزا ایجاد شد. گروه‌های آمید پیوند یافته روی نانولوله کربن با ایزووسیانات (قطعه سخت پلی‌یورتان) واکنش کرده و باعث اتصال نانولوله عامل دار به قطعه سخت می‌شوند. نتایج تجزیه گرمایی نشان داد، دمای انتقال شیشه‌ای حدود 100°C درجه افزایش یافته و با ازدیاد ۲٪ نانولوله کربن، استحکام کششی و پایداری گرمایی بهبود می‌یابد.

Zheng و همکاران نانولوله کربن را با MOCA اصلاح و نانوکامپوزیت پلی‌یورتان-نانولوله کربن را با پلیمرشدن درجا به روش توده با استفاده از زنجیرافزا تهیه کردند [۵۱]. بررسی ریزاساختار نشان داد، با کمتر از ۲٪ نانولوله اصلاح شده، پراکنش یکنواختی از نانولوله کربن در ماتریس به وجود آمد، ولی با افزایش مقدار CNT خوش‌هایی از آنها ایجاد می‌شود. با افزایش ۵٪ نانولوله کربن ازدیاد طول تا پارگی کاهش و T_g کامپوزیت حدود 20°C افزایش و پایداری گرمایی بهبود می‌یابد.

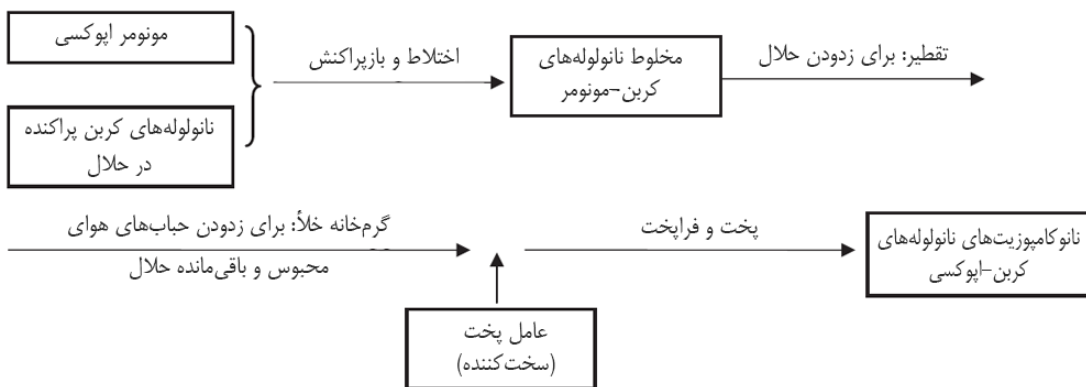
در پژوهشی نانوکامپوزیت (MWCNT-PU) به روش پلیمرشدن تراکمی درجا با استفاده از نانولوله کربن اصلاح شده تهیه شد [۵۲]. الگوی پراش پرتو X نشان داد، با افزایش نانولوله کربن، شدت پیک‌ها کاهش یافته و درنتیجه بلوری‌شدن پلی‌یورتان با افزایش نانولوله کمتر می‌شود. این اطلاعات با نتایج DSC نیز تأیید شد. همچنین، دمانگاشت TGA افزایش چشمگیری را در دمای شروع تخریب کامپوزیت دارای ۲٪ نانولوله کربن نشان می‌دهد. بهبود خواص مکانیکی به دلیل تقویت نانولوله کربن پراکنده شده کارآمد در ماتریس پلیمری و برهمکنش گروه‌های کربوکسیلیک با OH ماتریس پلی‌یورتان است. Ryzkowska [۵۳] با بررسی سطح شکست نانو کامپوزیت PU-MWCNT تهیه شده به روش پلیمرشدن درجا، به کمک HRSEM و AFM دریافت، نانولوله‌های کربن حین فرایند جدایی فاز به سمت نواحی سخت می‌روند.

در شیرابه پلیمری پراکنده می‌شود. پس از خشک‌کردن انجمادی (freeze-drying)، با فرایند ذوب کامپوزیتی از نانولوله کربن در ماتریس پلیمری تهیه می‌شود. این روش به دلیل سهولت اختلاط، تجدیدپذیری و قابل اعتماد و چندکاره بودن و نیز امکان پراکنش نانولوله کربن در ماتریس پلیمری با گرانزوی زیاد، بسیار مورد توجه است [۴۶, ۴۷]. حلال استفاده شده در این روش آب است. بنابراین، فرایندی ایمن و از لحاظ زیست‌محیطی مناسب است. این فرایند نسبتاً آسان بوده، از این‌رو ساخت نانوکامپوزیت‌های پلیمر-CNT به این روش بسیار ساده است.

پلیمرشدن درجا

پلیمرشدن درجا برای دستیابی به پراکنشی یکنواخت از نانولوله کربن در پلیمرهای گرماسخت بسیار کاراست. در این روش، نانولوله با وجود حلال یا نبود آن با مونومر محلوت می‌شود. سپس، این مونومرها از راه واکنش افزایشی یا تراکمی با عامل پخت یا سخت‌کننده‌ها در دمای زیاد، پلیمر می‌شوند. از اصلی‌ترین مزیت‌های این روش، ایجاد پیوند کووالانسی بین گروه عاملی روی نانولوله کربن و ماتریس پلیمری است که باعث می‌شود، خواص مکانیکی کامپوزیت از راه پیوندهای بین‌سطحی قوی بهبود یابد. انواع مختلفی از رزین‌های اپوکسی به این روش تهیه شده‌اند [۴۸, ۴۹].

شکل ۱۳ مراحل این فرایند را برای نانوکامپوزیت اپوکسی-نانولوله کربن نشان می‌دهد. Xiong و همکاران [۵۰] نانولوله کربن چنددیواره را با آمید اصلاح و نانوکامپوزیت پلی‌یورتان-نانولوله کربن را با پلیمرشدن درجا به روش توده با استفاده از زنجیرافزار متیلن‌بیس‌اتوکلروآنیلین (MOCA) تهیه کردند. بررسی ساختار نانوکامپوزیت نشان داد، نانولوله کربن به خوبی در



شکل ۱۳- مراحل ساخت نانوکامپوزیت اپوکسی- نانولوله کربن [۱۶].

روش‌های دیگر

در سال‌های اخیر، روش‌های جدیدی برای تهیه نانوکامپوزیت پلیمر - نانولوله کربن با درصد زیادی نانولوله از جمله ریستنگ انعقادی لایه‌به‌لایه رسوب و پودر گزارش شده است [۱۶].

خواص نانوکامپوزیت‌های پلیمر - نانولوله کربن

خواص مکانیکی

نانولوله کربن با مدول یانگ $1/2 \text{ TPa}$ و استحکام کششی $50-200 \text{ GPa}$ خواص مکانیکی بسیار خوبی را نشان می‌دهد. به دلیل تلفیق خواص مکانیکی استثنای آنها با چگالی کم، نسبت منظر و مساحت سطح ویژه زیاد، برای تقویت کردن پلیمرهای گرماستخت مانند اپوکسی، پلی‌یورتان، فنول-فرمالدهید و نیز پلاستیک‌های گرمانرم مانند پلی‌استیرن، پلی‌پروپیلن، نایلون و مانند آنها انتخاب می‌شوند. خواص مکانیکی نانوکامپوزیت‌ها بهشت تحت تأثیر مقدار پراکنش نانولوله‌های کربن است. افزون بر پراکنش، عواملی همچون نسبت منظر زیاد، آرایش و جهت‌یافتنگی و برهمنکش‌های بین‌سطحی بین نانولوله کربن و ماتریس نیز مهم هستند [۵۴]. نسبت منظر باید به اندازه کافی زیاد باشد تا انتقال نیروی اعمال شده بین نانولوله کربن و ماتریس حداکثر باشد. برای مثال، کامپوزیت دارای 1% وزنی CNTs با نسبت منظر زیاد باعث افزایش 35% مدول کشسانی و 25% استحکام کششی می‌شود [۵۵]. همچنین، با مقایسه نمونه‌های دارای نانولوله کربن چنددیواره با نسبت منظر متفاوت، در نمونه‌ای که نسبت منظر بیشتر است، استحکام ضربه‌ای و چقرمگی شکست بهبود می‌باید [۵۶]. از لحاظ هندسی تفاوت در آرایش نانولوله‌ها و پراکنش اتفاقی آنها می‌تواند در تغییر خواص کامپوزیت اثر زیادی داشته باشد [۵۴].

مدول ذخیره کامپوزیت پلی‌استیرن حاوی نانولوله پراکنده شده به طور اتفاقی و جهت‌یافته به ترتیب 10% و 49% بیشتر از نمونه بدون نانولوله است [۵۷]. مقدار آرایش‌یافتنگی با دو عامل قطر نانولوله و مقدار آن کنترل می‌شود. هرچه قطر نانولوله کمتر باشد، نظم و جهت‌یافتنگی در اثر جریان کششی بهبود یافته و هرچه مقدار نانولوله بیشتر باشد، جهت‌یافتنگی به دلیل تجمع CNT و محدودیت در حرکت نانولوله‌های همسایه کمتر می‌شود. روش‌های محدودی از جمله کشش مکانیکی، مذاب‌رسی، دی‌الکتروفورز، کاربرد در میدان‌های مغناطیسی برای تهیه نانوکامپوزیت با الیاف آرایش‌یافته به کار رفته است. با افزایش مقدار نانولوله، در مقادیر کمتر از مقدار بحرانی استحکام افزایش می‌باید [۴۹]. اما، در مقادیر بیشتر از مقدار بحرانی، خواص مکانیکی کامپوزیت کاهش می‌باید، به طوری که

خواص الکتریکی

کامپوزیت‌های رسانای الکتریسیته با رسانایی حجمی بیش از 10 S/cm از مهم‌ترین مواد نسبتاً ارزان برای کاربردهای مهندسی مانند چسب‌های رسانا، پوشش‌ها و فیلم‌های ضدالکتریسیته ساکن، سپرهای تداخل مغناطیسی برای وسایل الکترونیک و مواد بین‌سطحی گرمایی هستند [۵۸]. نظریه زهش برای توضیح رفتار رسانایی کامپوزیت دارای پرکننده‌های رسانا و ماتریس عایق به کار می‌رود. مقدار بحرانی پرکننده با آستانه زهش بررسی می‌شود، جایی که رسانایی الکتریکی اندازه‌گیری شده به دلیل تشکیل مسیر پیوسته الکترونی یا شبکه‌ای رسانا به سرعت به چند برابر مقدار اولیه افزایش می‌باید. پرکننده‌های رسانایی الکتریکی عبارت از پودرهای فلزی در مقیاس میکرو و مواد کربنی مانند دوده، گرافیت ورقه‌ای و الیاف کربن هستند. برای دستیابی به آستانه زهش، حدود 10% تا 15% وزنی از این پرکننده‌ها لازم است. در این حالت، کامپوزیت با خواص مکانیکی ضعیف و چگالی زیاد ساخته می‌شود. استفاده از نانولوله‌های کربن در پلیمر روش جالبی است که مشکلات نامبرده را کاهش می‌دهد. برای تبدیل پلیمر عایق به کامپوزیت رسانا مقدار بسیار کمی (اغلب حدود 5% وزنی) نانولوله کربن لازم است. مقدار بحرانی نانولوله کربن بسیار متغیر است و برای بعضی از سامانه‌ها 0.002% و برای گروه دیگر 7% درصد وزنی گزارش شده است. Li و همکاران [۵۹] عامل بحرانی در تعیین آستانه زهش را به نسبت منظر نانولوله، عدم گره‌خوردگی، تجمع نانولوله در مقیاس نانو و پراکنش یکنواخت نانولوله‌ها یا تجمع آنها در مقیاس میکرو نسبت داده‌اند. Bauhofer و همکاران [۶۰] دریافتند، با پراکنش خوب نانولوله کربن، رسانایی الکتریکی 50 بار نسبت به همان کامپوزیت با گره‌خوردگی الیاف نانولوله کربن افزایش می‌باید. اثر عامل دارکردن نانولوله بر خواص الکتریکی نشان می‌دهد، با عامل دارکردن نانولوله پراکنش آن آسان‌تر و در آستانه زهش کمتر شبکه رسانا در کامپوزیت تشکیل می‌شود. عامل دارکردن زیاد نیز اتمهای ناهمگن بسیار زیادی را در سطح نانولوله کربن به وجود آورده و در الکترون‌های p مزاحمت ایجاد می‌کند، درنتیجه، خواص

گرمایی بین‌سطحی با رفتار میرایی ارتعاش فونون شود. Ma و همکاران [۶۱] رسانایی گرمایی کامپوزیت‌های پر شده با CNTs با عاملیت‌های مختلف را مقایسه کرده و نشان دادند، به‌طور کلی رسانایی گرمایی CNTs اولیه بیشتر از انواع دارای عاملیت آمین (گروه‌های عاملی آمین و آمید روی سطح نانولوله) است. افرون بر رسانایی گرمایی، وجود نانولوله کربن در پلیمر می‌تواند پایداری گرمایی (دماهی انتقال شیشه‌ای، دمای ذوب و دمای تجزیه گرمایی) و نیز خاصیت بازدارندگی اشتعال را با اثر محدودیت بر قطعه‌ها و زنجیرهای پلیمری بهبود بخشد. Kashiwagi و همکاران [۶۶] اشتعال‌پذیری نانوکامپوزیت CNT/PMMA را بررسی کردند. آنها نشان دادند، CNTs بازدارنده اشتعال بهتری نسبت به نانوچارک رس هستند، به شرط اینکه نانولوله‌ها ساختار شبکه بسته‌ای را ایجاد کنند. سازوکاری که در پی این پدیده اتفاق می‌افتد عبارت است از: الف- شبکه‌های دارای CNTs در زیر لایه پلیمر خالص به عنوان سپر گرمایی عمل می‌کنند. درنتیجه به‌طور قابل ملاحظه‌ای سرعت رهایش گرمای نانوکامپوزیت کاهش می‌یابد.

ب- واردکردن CNTs در پلیمر باعث بهبود پایداری گرمایی نانوکامپوزیت می‌شود، به‌طوری که از تشکیل ترک‌ها به‌طور مؤثری جلوگیری می‌کند، یا بازدارندگی اشتعال نانوکامپوزیت را حین سوختن بهبود می‌بخشد. پراکنش ضعیف یا غلظت کم نانولوله‌ها باعث تشکیل لایه ناپیوسته‌ای از جزایر پراکنده در اندازه ۱ mm تا ۱۰ mm می‌شود. کارایی بازدارندگی اشتعال نانوکامپوزیت‌های دارای این نوع جزایر، بسیار کمتر از نانوکامپوزیت‌های است که دارای یک لایه شبکه‌ای پیوسته محافظت باشند [۶۶].

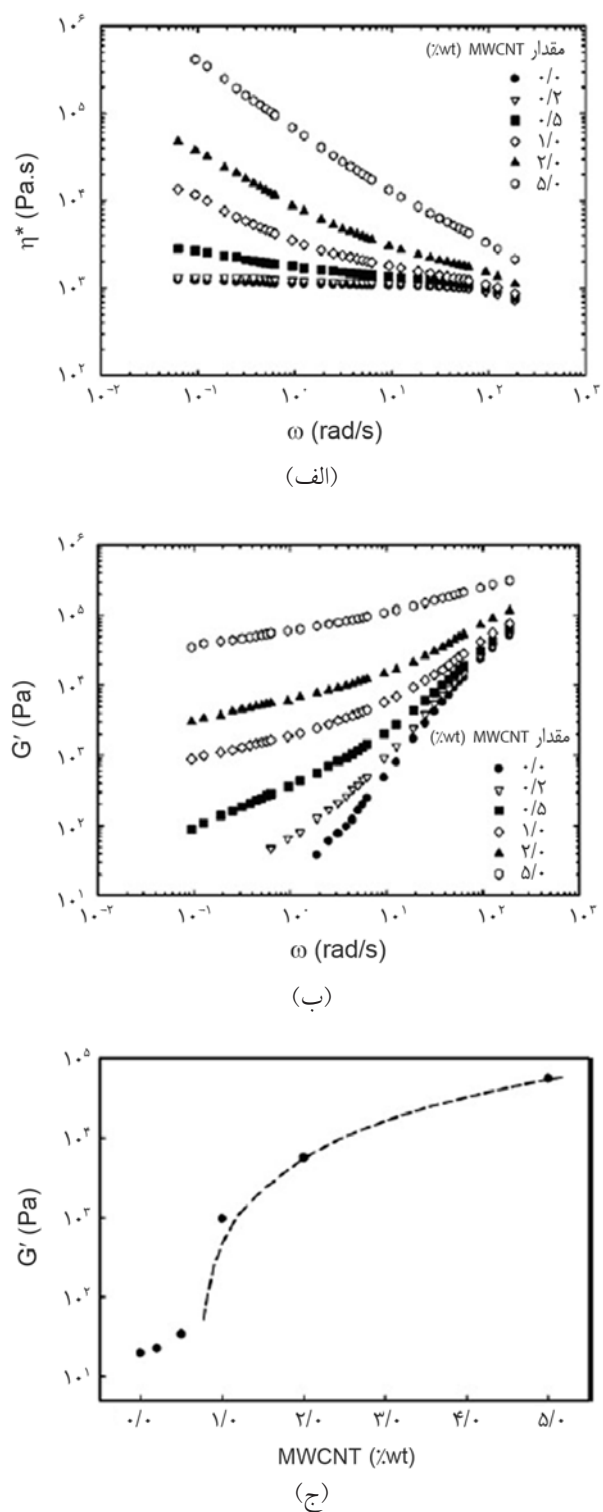
خواص نوری

خواص نوری نانوکامپوزیت CNT-پلیمر خواص غیرخطی و محدود نوری، فوتولومینسانس، انتشار نوری و خواص فوتونی است. خواص غیرخطی نوری مواد عبارت از رفتار غیرخطی در حدوساطی است که قطبینه نسبت به میدان الکتریکی نور پاسخ غیرخطی دارد. خواص غیرخطی در نورهای با شدت زیاد مانند آنهایی که با لیزرهای ضربانی ایجاد شده، مشاهده می‌شود. نشان داده شده که تعلیق‌های SWCNTs و MWCNTs هردو دارای خواص غیرخطی هستند. بنابراین، می‌توان از آنها برای اصلاح خواص نوری وسایل موج‌بر ساخته شده از کامپوزیت‌های پلیمری استفاده کرد. Tang و همکاران [۶۷] از پیشگامان مطالعه در این زمینه هستند. رنگ سیاه نانولوله کربن و مساحت سطح ویژه و واپستگی الکترونی زیاد آن، شناس انتخاب CNTs را برای بهبود

الکتریکی ذاتی نانولوله را کاهش می‌دهد. عامل دارکردن نانولوله با اسیدهای غلیظ، CNTs را به اجزای کوچک‌تر تخریب کرده و باعث کاهش نسبت منظر می‌شود که هر دو حالت در تشکیل شبکه رسانا در نانوکامپوزیت مؤثرند. CNTs عامل دار شده با سیلان آلی باعث تشکیل لفافهای عایق بر سطح نانولوله کربن می‌شود. لفاف‌دارشدن نانولوله‌های کربن برای پراکنش بهینه آنها بسیار مهم است و کامپوزیت‌های دارای این نوع نانولوله اصلاح شده آستانه زهشی را نشان نمی‌دهند [۶۱].

خواص گرمایی

رسانایی گرمایی مواد تحت تأثیر ارتعاش اتمی یا فونون‌هاست و عموماً برای مواد عایق، رسانایی به وسیله الکترون قابل اغماض است [۶۲]. در کامپوزیت‌های نانولوله کربن و پلیمر، رسانایی گرمایی به چند عامل از جمله مقدار، نسبت منظر، پراکنش نانولوله کربن و برهم‌کنش بین‌سطحی آنها با ماتریس پلیمری بستگی دارد. انتظار می‌رود، نانولوله کربن به دلیل رسانایی گرمایی و پایداری گرمایی زیاد، برای اصلاح خواص گرمایی پلیمرها مناسب باشد. تلاش‌های زیادی برای استفاده از نانولوله کربن به عنوان پرکننده رسانای گرمایی در کامپوزیت‌های پلیمری انجام شده است. به عنوان مثال، Biercuk و همکاران [۶۳] نانولوله تک‌دیواره را برای تقویت خواص انتقال گرمای اپوکسی به کار برند. آنها نشان دادند، در دمای $K = 40$ و محیط به ترتیب افزایش ۷۰٪ و ۱۲۵٪ در رسانایی گرمایی اپوکسی دارای ۱٪ SWNTs به وجود می‌آید. همچنین Evseeva و همکاران [۶۴] دریافتند، افزایش ۱٪ تا ۱۰٪ وزنی نانولوله چنددیواره، خواص گرمایی اپوکسی را تا ۴۰٪ بهبود می‌بخشد. منیرالزمان و همکاران [۶۷] معتقدند، فونون‌ها حامل اصلی رسانایی گرمایی هستند و احتمال می‌دادند، انتقال گرمایی راه ماتریس و نه از راه شبکه نانولوله کربن باشد. زیرا، تفاوت رسانایی گرمایی نانولوله کربن (با ضریب رسانندگی گرمایی $K_{\text{CNT}} \approx 1000 \text{ W/mK}$ و پلیمر (با ضریب رسانندگی گرمایی حدود $K_{\text{polymer}} \approx 10^{-1} \text{ W/mK}$) حدود $K_{\text{polymer}} \approx 10^4 \text{ W/mK}$ است که بسیار کمتر از تفاوت رسانایی الکتریکی نانولوله کربن (با ضریب رسانندگی الکتریکی $K_{\text{CNT}} \approx 10^{-3} \text{ S/cm}$ و پلیمر (با ضریب رسانندگی الکتریکی $K_{\text{polymer}} \approx 10^{-13} \text{ S/cm}$) حدود $K_{\text{polymer}} \approx 10^{15} \text{ S/cm}$ است. نسبت منظر بر رسانایی گرمایی نیز مؤثر است [۶۵]. عامل مهم دیگری در رسانایی گرمایی، چسبندگی بین‌سطحی نانولوله کربن و ماتریس پلیمری است. بهبود برهم‌کنش‌های بین‌سطحی پلیمر-CNT می‌تواند مانع انتقال فونون در طول CNTs و افزایش مقاومت



شکل ۱۴- پاسخ رئولوژیکی: (الف) گرانزوی مختلط، (ب) مدول ذخیره نانوکامپوزیت پلیکربنات CNT به عنوان تابعی از بسامد در دمای 23°C و (ج) آستانه زهش در بسامد 1 rad/s [۶۹].

پلیمری و برهمکنش‌های پلیمر - نانولوله کربن است. حرکت این شبکه‌ها به طور قابل ملاحظه‌ای در دماهای زیاد بهبود می‌یابد. در

فوتولومینسانس کامپوزیت‌های CNT-پلیمر افزایش می‌دهد. از کاربردهای دیگر نانولوله‌های کربن استفاده از آنها در وسایل نشر نور و فوتون برایه پلیمر است. مزایای استفاده از دیودهای الی نشر نور (OLEDs) بر پایه پلیمر عبارت از قیمت کم، ولتاژ کاربردی کم، فراورش پذیری و انعطاف‌پذیری عالی است. ولی، بازده کوانتومی و پایداری کم آنها، کاربرد این ترکیبات را محدود می‌کند. Kim و همکاران [۶۸] مشاهده کردند، با افزایش 2% نانولوله SWCNTs در دیود OLEDs کیفیت بازده کوانتومی دو تا سه برابر می‌شود.

خواص رئولوژیکی

مطالعه پاسخ‌های رئولوژیکی نانوکامپوزیت CNT-پلیمر از لحاظ عملی درباره فرایند کامپوزیت و از لحاظ علمی درباره ریزساختار و دینامیک اهمیت دارد [۴۷]. خواص رئولوژیکی نانوکامپوزیت CNT-پلیمر به عوامل گوناگونی مانند خواص پرکننده، نسبت منظر و پراکنش آن، وزن مولکولی پلیمر و برهمکنش بین سطحی پلیمر و پرکننده بستگی دارد. تفاوت گرانزوی و مدول ذخیره کامپوزیت به عنوان تابعی از بسامد برای بررسی خواص رئولوژیکی به کار می‌رود.

شکل ۱۴-الف و ۱۴-ب گرانزوی مختلط و مدول ذخیره نانوکامپوزیت CNT-پلیمر را با مقادیر مختلف نانولوله کربن نشان می‌دهد [۶۹]. در بسامدهای کم، گرانزوی مختلط به طور قابل ملاحظه‌ای افزایش می‌یابد، در حالی که کل روند گرانزوی با افزایش بسامد در مقدار مشخص نانولوله کم می‌شود. این روند نشان می‌دهد، آسایش زنجیرهای پلیمری در نانوکامپوزیت با وجود نانولوله‌ها به طور مؤثری محدود می‌شود. مدول ذخیره نانوکامپوزیت به تدریج با افزایش بسامد و مقدار نانولوله افزایش می‌یابد که نشان‌دهنده انتقال رفتار گرانزوی از حالت مایع به حالت جامد است. شبیه به رفتار زهش الکتریکی، رئولوژی نانوکامپوزیت CNT-پلیمر یک انتقال از حالت سیال به حالت جامد را نشان می‌دهد، جایی که گرانزوی یا مدول ذخیره به افزایش مقدار نانولوله حساس نیست یا کمی تغییر می‌کند. غلظت در این انتقال با نام آستانه زهش شناخته می‌شود که در شکل ۱۴-ج نشان داده شده است. تفاوت آستانه زهش‌های الکتریکی و رئولوژیکی نانوکامپوزیت CNT-پلیمر بهشتی به دما بستگی دارد. در نانوکامپوزیت MWCNT/PC آستانه زهش رئولوژیکی در محدوده دمای 210°C تا 310°C از حدود 8% به حدود 3% وزنی کاهش می‌یابد [۶۹].

دلیل مشاهدات مزبور این است که پاسخ رئولوژیکی نانوکامپوزیت، تحت تأثیر شبکه تشکیل شده به وسیله زنجیرهای

میرایی بهتری در نانوکامپوزیت در مقایسه با پلیمر خالص منجر می شود [۷۴، ۷۵].

نتیجه گیری

خواص مکانیکی عالی CNT‌ها همراه با خواص منحصر به فرد انتقال و چند عاملی بودن آنها، امکان استفاده از این مواد را در ساخت نانوکامپوزیت‌ها فراهم آورده است. با توجه به مطالعات بسیار زیاد، پیش‌بینی استفاده از نانوکامپوزیت‌های CNT - پلیمر برای اهداف مختلف فراهم شده، ولی کاربرد آنها در محصولات در مراحل اولیه است. تمام مقالات ارائه شده در این زمینه براساس اتحلال ناپذیری و پراکنش در رزین پلیمر و نیز ضعف چسبندگی بین ذرات نانولوله‌های کربنی و انواع پلیمرها به دو گروه دسته‌بندی می‌شوند. پراکنش یکنواخت CNT‌ها به روش‌های مکانیکی فرآصوت‌دهی، اختلاط با برش، ورقه‌سازی با غلتک، آسیاب گلوله‌ای، همزدن و اکسترودر قابل دستیابی است. انتخاب این روش‌ها براساس خواص مدنظر است. زیرا، هر یک از این روش‌ها تفاوت زیادی در تخریب CNT و شکستن آنها به قطعات کوچک‌تر دارند. هم‌زمان با توسعه روش‌های پراکنش، دو روش اصلی فیزیکی و شیمیایی برای عامل‌دارکردن نانولوله‌های کربن استفاده شده است. فلوریدارکردن، حلقه‌زایی، افزایش کاربن و نیترن، کلر، برم، هیدروژن و سیلان‌دارکردن از روش‌های شیمیایی و پیچیدن پلیمر به دور CNT با استفاده از امولسیون‌کننده‌های آنیونی و روش درون‌وجهی از انواع روش‌های فیزیکی است. از مزایای عامل‌دارکردن این است که پراکنش آسان نمی‌شود، ولی برهمکنش‌های بین‌سطحی بهبود می‌یابد که هر دوی اینها پیش‌بینی بهبود خواص مکانیکی و برخی خواص فیزیکی است. به عنوان مثال، فرایند پراکنش با استفاده از اسید زیاد یا با غلظت زیاد ممکن است، نانولوله کربن را تخریب کند. نکاتی که در عامل‌دارکردن CNT‌ها باید به آنها توجه شود عبارت اند از:

- در روش‌هایی که ابتدا CNT‌ها در حلال پراکنده شده و سپس با مونومر یا پلیمر مخلوط می‌شود، روش‌های مناسبی برای دستیابی به پراکنش مناسب نانولوله کربن در نانوکامپوزیت هستند. پارامترهای مؤثر در این روش‌ها عبارت از نسبت منظر، سطح عامل‌دارشده نانولوله کربن و انرژی سطحی است.

- بررسی‌های اسلوبمند ارتباط بین اصلاح سطح، مقدار عامل‌دارشدن، شرایط ساخت نانولوله کربن، خواص مکانیکی،

حالی که آستانه زهش الکتریکی برای تشکیل شبکه‌های جامد رسانا به تماس نانولوله کربن نیاز دارد، یعنی اثر دما کم می‌شود. از آنجا که زنجیرهای پلیمری در پاسخ‌های رئولوژیکی نانوکامپوزیت شرکت زیادی دارند، به آسانی می‌توان فهمید، مقدار CNTs مورد نیاز برای تشکیل آستانه زهش رئولوژیکی بسیار کمتر از مقدار نانولوله کربن در آستانه زهش الکتریکی است. Bose و همکاران [۷۰] دریافتند، آستانه زهش رئولوژیکی در نانوکامپوزیت MWCNT/PA6-ABS حدود ۱٪ تا ۲٪ وزنی است که به طور قابل ملاحظه‌ای کمتر از آستانه زهش الکتریکی حدود ۳٪ تا ۴٪ وزنی است. پاسخ الکتریکی نانوکامپوزیت دارای مقدار مشخص نانولوله زیر مقدار آستانه زهش را می‌توان به عنوان روش غیرمستقیم برای اندازه‌گیری مقدار پراکنش نانولوله در ماتریس پلیمری به کار برد. معمولاً با CNT عامل‌دار آستانه زهش رئولوژیکی را به دلیل پراکنش بهتر، کاهش می‌دهد [۷۱].

خواص میرایی

برخلاف پژوهش‌های زیادی که روی خواص کشسان نانوکامپوزیت‌های پلیمر نانولوله کربن انجام شده توجه کمتری بر سازوکار میرایی انجام شده است. روند کاهش دامنه نوسان در سامانه نوسانی را برای مواد میرایی گویند. خواص میرایی نانوکامپوزیت مانند ضربه اتلاف و سرعت میرایی پارامترهای اساسی طراحی برای بسیاری از کاربردهای مهندسی است. خواص میرایی در نانوکامپوزیت می‌تواند از اصطکاک بین‌سطحی نانوپرکنده و ماتریس پلیمری حاصل شود [۷۲، ۷۳]. در مطالعات اخیر آمده است که خواص میرایی نانوکامپوزیت پلیمری با ترکیب مقدار بسیار کمی از CNTs می‌تواند تا ۲۰٪ افزایش یابد. سازوکار این افزایش را می‌توان با نظریه چسبندگی - لغزش (stick-slip) توضیح داد. وقتی که نانولوله کربن تحت نیروی خارجی قرار گیرد، بین دیواره نانولوله و ماتریس احاطه‌کننده آن به دلیل تفاوت خواص کشسانی آنها مطابق نظریه تأخیر برش (shear lag) تنش برشی ایجاد می‌شود. اگر CNTs به خوبی با ماتریس پیوند خورده باشند باهم تغییر‌شکل می‌دهند. اگر نیروی خارجی بیشتر از مقدار بحرانی باشد، باعث جداسدن اتصال نانولوله کربن از ماتریس می‌شود و از دیگر طول هم‌زمان CNTs با ماتریس متوقف شده و اعمال نیروی بیشتر باعث تغییر‌شکل ماتریس می‌شود. بنابراین پلیمر بر سطح CNTs، شروع به جریان کرده و انرژی تغییر‌شکل از راه لغزش بین ماتریس و نانولوله کربن اتفاق می‌شود. این پدیده به خواص



همراه پرکننده ارزان قیمت، افرون بر کاهش قیمت ایجاد خاصیت هم افزایی را در خواص موجب می شود. به تازگی گرافن (ورقه تکاتمی)، کربن با پیوند sp^2 به دلیل مساحت سطح زیاد و خواص مکانیکی و الکتریکی قابل ملاحظه در مقایسه با نانولوله کربن بسیار مورد توجه واقع شده است. ورقه گرافن از اکسید گرافیت با روش شیمیایی ارزان تر از روش تولید نانولوله کربن تهیه می شود. گرافن آخرین رقیب نانولوله کربن در ساخت نانوکامپوزیت است. استفاده از مقدار بسیار کمی از گرافن، خواص مکانیکی را بهبود می دهد. ورقه های بسیار نازک گرافن قابلیت جایگزینی فیلم های ایندیم قلع اکسید را دارند. در این زمینه مطالعات و پژوهش ها هنوز ادامه دارد.

الکتریکی و گرمایی، سازوکار شکست هنگام سرویس دهی در شرایط محیط را موجه می سازد.

- انتقال تنفس به چسبندگی بین سطحی نانولوله کربن و ماتریس پلیمری بستگی دارد. هرچه چسبندگی بین سطحی قوی تر باشد، خواص مکانیکی بهبود می یابد. مطالعات پایه ای برای درک سازوکار انتقال تنفس به شکل ارائه مدلی برای پیش بینی و اندازه گیری چسبندگی بین سطحی، راه را برای گسترش کاربرد نانوکامپوزیت ها هموار می سازد.

- قیمت زیاد CNT ها در مقایسه با سایر پرکننده ها از جمله خاکرس، گرافیت ورقه ای شده، دوده و الیاف کربن استفاده از آن را به عنوان پرکننده محدود می کند. استفاده هم زمان از CNT ها به

مراجع

- Thostenson E.T., Renb Z., and Choua T.W., Advances in the Science and Technology of Carbon Nanotubes and their Composites: A Review, *Compos. Sci. Technol.*, **61**, 1899-1912, 2001.
- Janas D. and Koziol K.K., A Review of Production Methods of Carbon Nanotube and Graphene Thin Films for Electrothermal Applications, *Nanoscale*, **6**, 3037-3045, 2014.
- Keru G., Ndungu P.G., and Nyamori V.O., A Review on Carbon Nanotube/Polymer Composites for Organic Solar Cells, *Int. J. Energ. Res.*, **38**, 1635-1653, 2014.
- Cirillo G., Hampe S., Spizzirri U.G., Parisi O.I., Nevio P., and Iemma F., Carbon Nanotubes Hybrid Hydrogels in Drug Delivery: A Perspective Review, *BioMed. Res. Int.*, **2014**, doi.org/10.1155/2014/825017, 2014.
- Liu Y. and Kumar S., Polymer/Carbon Nanotube Nanocomposite Fibers-A Review, *ACS Appl. Mater. Interfaces*, **6**, 6069-6087, 2014.
- Choudhary V. and Gupta A., Polymer/Carbon Nanotube Nanocomposites, www.intechopen.com, 2013.
- Velasco-Santos C., Martinez-Hernandez A.L., and Castano V.M., Carbon Nanotube-Polymer Nanocomposites: The Role of Interfaces, *Compos. Interfaces*, **11**, 567-586, 2005.
- Iijima S., Helical Microtubules of Graphitic Carbon, *Nature*, **354**, 56-58, 1991.
- Dresselhaus M.S., Dresselhaus G., and Saito R., Physics of Carbon Nanotubes, *Carbon*, **33**, 883-891, 1995.
- Sathyaranayana S. and Hübner C., Thermoplastic Nanocomposites with Carbon Nanotubes, *Structural Nanocomposites*, Njuguna J. (Ed.), Springer-Verlag, Berlin, Heidelberg, 2013.
- Yakobson B.I. and Avouris P., Mechanical Properties of Carbon Nanotubes, *Top Appl. Phys.*, **80**, 287-327, 2001.
- Qian D., Wagner G.J., Liu W.K., Yu M.F., and Ruoff R.S., Mechanics of Carbon Nanotubes, *Appl. Mech. Rev.*, **55**, 495-533, 2002.
- Ma P.C., Siddiqui N.A., Marom G., and Kim J.K., Dispersion and Functionalization of Carbon Nanotubes for Polymer-based Nanocomposites: A Review, *Composites, Part A*, **41**, 1345-1367, 2010.
- Carbon Nanotubes and Related Structures*, Guldi D.M. and Martin N. (Eds.), Wiley-VCH Verlag, Weinheim, 2010.
- Liu J., Fan S., and Dai H., Recent Advances in Methods of Forming Carbon Nanotubes, *MRS Bull.*, 244-250, 2004.
- Che Y., Chen H., Gui H., Liu J., Liu B., and Zhou Ch., Review of Carbon Nanotube Nanoelectronics and Macroelectronics, *Semicond. Sci. Technol.*, **29**, 073001, 2014.
- Koo J.H., *Polymer Nanocomposites: Processing, Characterization, and Applications*, McGraw-Hill, New York, 2006.
- Coleman J.N., Khan U., and Gunko Y.K., Mechanical Reinforcement of Polymers Using Carbon Nanotubes, *Adv. Mater.*, **18**, 689-706, 2006.
- Esumi K., Ishigami M., Nakajima A., Sawada K., and Honda H., Chemical Treatment of Carbon Nanotubes, *Carbon*, **34**,

- 279-281, 1996.
20. Datsyuk V., Kalyva M., Papagelis K., Parthenios J., Tasis D., Siokou A., Kallitsis I., and Galiotis C., Chemical Oxidation of Multiwalled Carbon Nanotubes, *Carbon*, **46**, 833-840, 2008.
 21. Wepasnick K.A., Smith B.A., Schrote K.E., Wilson H.K., Di-egelmann S.R., and Fairbrother D.H., Surface and Structural Characterization of Multi-Walled Carbon Nanotubes Following Different Oxidative Treatments, *Carbon*, **49**, 24-36, 2011.
 22. Chen X., Chen X., Lin M., Zhong W., Chen X., and Chen Z., Functionalized Multi-Walled Carbon Nanotubes Prepared by In Situ Polycondensation of Polyurethane, *Macromol. Chem. Phys.*, **208**, 964-972, 2007.
 23. Chen X., Wang J., Zou J., Wu X., Chen X., and Xue F., Mechanical and Thermal Properties of Functionalized Multi-Walled Carbon Nanotubes and Multi-Walled Carbon Nano-tube-Polyurethane Composites, *J. Appl. Polym. Sci.*, **114**, 3407-3413, 2009.
 24. Yang S.Y., Ma C.C.M., Teng C.C., Huang Y.W., Liao S.H., Huang Y.L., Tien H.W., Lee T.M., and Chiou K.C., Effect of Functionalized Carbon Nanotubes on the Thermal Conductivity of Epoxy Composites, *Carbon*, **48**, 592-603, 2010.
 25. Shen J., Huang W., Wu L., Hu Y., and Ye M., Study on Amino-Functionalized Multi-Walled Carbon Nanotubes, *Mater. Sci. Eng. A*, **464**, 151-156, 2007.
 26. Yang K., Gu M., Guo Y., Pan X., and Mu G., Effects of Carbon Nanotube Functionalization on the Mechanical and Thermal Properties of Epoxy Composites, *Carbon*, **47**, 1723-1737, 2009.
 27. Kim S.J., Kim J.H., and Park J.H., Measurement of Characteristics of PU/MWCNT Films Made of Modified MWCNT by Dry Heat Treatment, *JFBI*, **3**, 216-223, 2011.
 28. Wang S., Optimum Degree of Functionalization for Carbon Nanotubes, *Curr. Appl. Phys.*, **9**, 1146-1150, 2009.
 29. Hill D.E., Lin Y., Rao A.M., Allard L.F., and Sun Y.P., Functionalization of Carbon Nanotubes with Polystyrene, *Macromolecules*, **35**, 9466-9471, 2002.
 30. Liu P., Modifications of Carbon Nanotubes with Polymers, *Eur. Polym. J.*, **41**, 2693-2703, 2005.
 31. Xia H., Song M., Jin J., and Chen L., Poly(propylene glycol)-Grafted Multi-Walled Carbon Nanotube Polyurethane, *Macromol. Chem. Phys.*, **207**, 1945-1952, 2006.
 32. Xia H. and Song M., Preparation and Characterisation of Polyurethane-g-Grafted Single-Walled Carbon Nanotubes and Derived Polyurethane Nanocomposites, *J. Mater. Chem.*, **16**, 1843-1851, 2005.
 33. Sahoo N.G., Rana S., Chob J.W., Li L., and Chan S.H., Polymer Nanocomposites Based on Functionalized Carbon Nanotubes, *Prog. Polym. Sci.*, **35**, 837-867, 2010.
 34. Lee R.S., Chen W.H., Lin J.H., Polymer-grafted Multi-Walled Carbon Nanotubes through Surface-Initiated Ring-Opening Polymerization and Click Reaction, *Polymer*, **52**, 2180-2188, 2011.
 35. Lou X., Detrembleur C., Sciannamea V., Pagnoulle C., and Jerome R., Grafting of Alkoxyamine End-capped (co) Polymers onto Multi-Walled Carbon Nanotubes, *Polymer*, **45**, 6097-6102, 2004.
 36. Yang Y., Qiu S., He C., He W., Yu L., and Xie X., Green Chemical Functionalization of Multi-Walled Carbon Nano-tubes with Poly(ϵ -caprolactone) in Ionic Liquids, *Appl. Surf. Sci.*, **257**, 1010-1014, 2010.
 37. Hauquier F., Pastorin G., Hapiot P., Prato M., Bianco A., and Fabre B., Carbon Nanotube-Functionalized Silicon Surfaces with Efficient Redox Communication, *Chem. Commun.*, 4536-4538, 2006.
 38. Vast L., Carpentier L., Lallemand F., Colomer J.F., Tendeloo G.V., Fonseca A., Nagy J.B., Mekhalif Z., and Delhalle J., Multiwalled Carbon Nanotubes Functionalized with 7-Octenyltrichlorosilane and n-Octyltrichlorosilane: Dispersion in Sylgard-184 Silicone and Young's Modulus, *J. Mater. Sci.*, **44**, 3476-3482, 2009.
 39. Schopf E., Broyer R., Tao L., Chen Y., and Maynard D.H., Directed Carbon Nanotube Assembly Using a Pyrene-functionalized Polymer, *Chem. Commun.*, 4818-4820, 2009.
 40. Kim J.A., Seong D.G., Kang T.J., and Youn J.R., Effects of Surface Modification on Rheological and Mechanical Properties of CNT/Epoxy Composites, *Carbon*, **44**, 1898-1905, 2006.
 41. Wang S.C., Chang K.S., and Yuan C.J., Enhancement of Electrochemical Properties of Screen-Printed Carbon Electrodes by Oxygen Plasma Treatment, *Electrochim Acta*, **54**, 4937-4943, 2009.
 42. Vaisman L., Wagner H.D., and Marom G., The Role of Surfactants in Dispersion of Carbon Nanotubes, *Adv. Colloid. Interface. Sci.*, **128**, 37-46, 2006.
 43. Grossiord N., Loos J., Regev O., and Koning C.E., Toolbox for Dispersing Carbon Nanotubes into Polymers to Get Con-

- ductive Nanocomposites, *Chem. Mater.*, **18**, 1089-1099, 2006.
44. Geng Y., Liu M.Y., Li J., Shi X.M., and Kim J.K., Effects of Surfactant Treatment on Mechanical and Electrical Properties of CNT/Epoxy Nanocomposites, *Composites Part A*, **39**, 1876-1883, 2008.
45. Georgakilas V., Gournis D., and Tzitzios V., Decorating Carbon Nanotubes with Metal or Semiconductor Nanoparticles, *J. Mater. Chem.*, **17**, 2679-2694, 2007.
46. Du J.H., Bai J., and Cheng H.M., The Present Status and Key Problems of Carbon Nanotube Based Polymer Composites, *Express Polym. Lett.*, **1**, 253-273, 2007.
47. Moniruzzaman M. and Winey K.I., Polymer Nanocomposites Containing Carbon Nanotubes, *Macromolecules*, **39**, 5194-5205, 2006.
48. Gojny F.H., Wichmann M.H.G., Köpke U., Fiedler B., and Schulte K., Carbon Nanotube Reinforced Epoxy-Composites: Enhanced Stiffness and Fracture Toughness at Low Nanotube Content, *Compos. Sci. Technol.*, **64**, 2363-2371, 2004.
49. Ma P.C., Liu M.Y., Kim J.K., and Tang B.Z., Development of Electrically Conducting Nanocomposites by Employing Hybrid Fillers of Carbon Nanotubes and Carbon Black, *ACS Appl. Mater. Interfaces*, **1**, 1090-1096, 2009.
50. Xiong J., Zheng Z., Qin X., Li M., Li H., and Wang X., The Thermal and Mechanical Properties of a Polyurethane/Multi-Walled Carbon Nanotube Composite, *Carbon*, **44**, 2701-2707, 2006.
51. Xiong J., Zheng Z., Song W., Zhou D., and Wang X., Microstructure and Properties of Polyurethane Nanocomposites Reinforced with Methylene-Bis-orthochloro-Aniline-Grafted Multi-Walled Carbon Nanotubes, *Composites. Part A*, **39**, 904-910, 2008.
52. Sahoo N.G., Jung Y.C., So H.H., and Cho J.W., Synthesis of Polyurethane Nanocomposites of Functionalized Carbon Nanotubes by In-Situ Polymerization Methods, *J. Korean Phys. Soc.*, **51**, S1-S6, 2007.
53. Ryszkowska J., Kowalska M.J., Szymborski T., and Kurzyd K.J., Dispersion of Carbon Nanotubes in Polyurethane Matrix, *Physica E*, **39**, 124-127, 2007.
54. Kim J.K. and Mai Y.W., *Engineered Interfaces in Fiber Reinforced Composites*, Elsevier, Oxford, 1-100, 1998.
55. Qian D. and Dickey E.C., Load Transfer and Deformation Mechanisms in Carbon Nanotube Polystyrene Composites, *Appl. Phys. Lett.*, **76**, 2868-2870, 2000.
56. Hernandez P.A., Aviles F., May P.A., Valadez G.A., Herrera F.P.J., and Bartolo P.P., Effective Properties of Multi-Walled Carbon Nanotube/Epoxy Composites Using two Different Tubes, *Compos. Sci. Technol.*, **68**, 1422-14231, 2008.
57. Thostenson E.T. and Chou T.W., Aligned Multi-Walled Carbon Nanotube-Reinforced Composites: Processing and Mechanical Characterization, *J. Phys. D.*, **35**, 77-80, 2002.
58. Zhang W., Dehghani-Sanj A.A., and Blackburn R.S., Carbon based Conductive Polymer Composites, *J. Mater. Sci.*, **42**, 3408-3418, 2007.
59. Li J., Ma P.C., Chow W.S., To C.K., Tang B.Z., and Kim J.K., Correlations between Percolation Threshold, Dispersion State and Aspect Ratio of Carbon Nanotube, *Adv. Funct. Mater.*, **17**, 3207-3215, 2007.
60. Bauhofer W. and Kovacs J.Z., A Review and Analysis of Electrical Percolation in Carbon Nanotube Polymer Composites, *Compos. Sci. Technol.*, **69**, 1486-1498, 2009.
61. Ma P.C., Kim J.K., and Tang B.Z., Effects of Silane Functionalization on the Properties of Carbon Nanotubes/Epoxy Nanocomposites, *Compos. Sci. Technol.*, **67**, 2965-2972, 2007.
62. Phillipot S.R. and McGaughey A.J.H., Introduction to Thermal Transport, *Mater. Today*, **8**, 18-20, 2005.
63. Biercuk M.J., Llaguno M.C., Radosavljevic M., Hyun J.K., Johnson A.T., and Fischer J.E., Carbon Nanotube Composites for Thermal Management, *Appl. Phys. Lett.*, **80**, 2767-2769, 2002.
64. Evseeva L.E. and Tanaeva S.A., Thermal Conductivity of Micro-and Nanostructural Epoxy Composites at Low Temperatures, *Mech. Compos. Mater.*, **44**, 87-92, 2008.
65. Guthy C., Du F., Brand S., Winey K.I., and Fischer J.E., Thermal Conductivity of Single-Walled Carbon Nanotube/PMMA Composites, *J. Heat Trans.*, **129**, 1096-1099, 2007.
66. Kashiwagi T., Du F., Douglas J.F., Winey K.I., Harris R.H., and Shields J.R., Nanoparticle Networks Reduce the Flammability of Polymer Nanocomposites, *Nat. Mater.*, **4**, 928-933, 2005.
67. Tang B.Z. and Xu H.Y., Preparation, Alignment, and Optical Properties of Soluble Poly(phenyl acetylene) Wrapped Carbon Nanotubes, *Macromolecules*, **32**, 2569-2576, 1999.
68. Kim J.Y., Kim M., Kim H., Joo J., and Choi J.H., Electrical and Optical Studies of Organic Light Emitting Devices Using SWCNTs-Polymer Nanocomposites, *Opt. Mater.*, **21**, 147-151, 2003.

69. Abbasi S., Carreau P.J., Derdouri A., and Moan M., Rheological Properties and Percolation in Suspensions of Multiwalled Carbon Nanotubes in Polycarbonate, *Rheol. Acta*, **48**, 943-959, 2009.
70. Bose S., Bhattacharyya A.R., Kulkarni A.R., and Pötschke P., Electrical, Rheological and Morphological Studies in Co-continuous Blends of Polyamide 6 and Acrylonitrile-Butadiene-Styrene with Multi-Wall Carbon Nanotubes Prepared by Melt Blending, *Compos. Sci. Technol.*, **69**, 365-372, 2009.
71. Mitchell C.A., Bahr J.L., Arepalli S., Tour J.M., and Krishnamoorti R., Dispersion of Functionalized Carbon Nanotubes in Polystyrene, *Macromolecules*, **35**, 8825-8830, 2002.
72. Koratkar N.A., Wei B.Q., and Ajayan P.M., Carbon Nanotube Films for Damping Applications, *Adv. Mater.*, **14**, 997-1000, 2002.
73. Ajayan P.M., Schadler L.S., and Braun P.V., *Nanocomposite Science and Technology*, Weinheim, Wiley-VCH, 77-80, 2003.
74. Suhr J., Schadler L., Ajayan P., and Koratkar N., Comparing Damping Properties of Single-Walled and Multi-Walled Carbon Nanotube Polymer Composites, *46th Structural Dynamics and Materials Conference*, 1550, 2005.
75. Koratkar N.A., Wei B.Q., and Ajayan P.M., Multifunctional Structural Reinforcement Featuring Carbon Nanotube Films, *Compos. Sci. Technol.*, **63**, 1525-1531, 2003.